

Inversão gravimétrica do relevo da Moho em coordenadas esféricas

Leonardo Uieda

Valéria C. F. Barbosa

Observatório Nacional - 2015

0 problema geofísico

Estimar
um relevo

Moho, embasamento

Isolar efeito
gravitacional

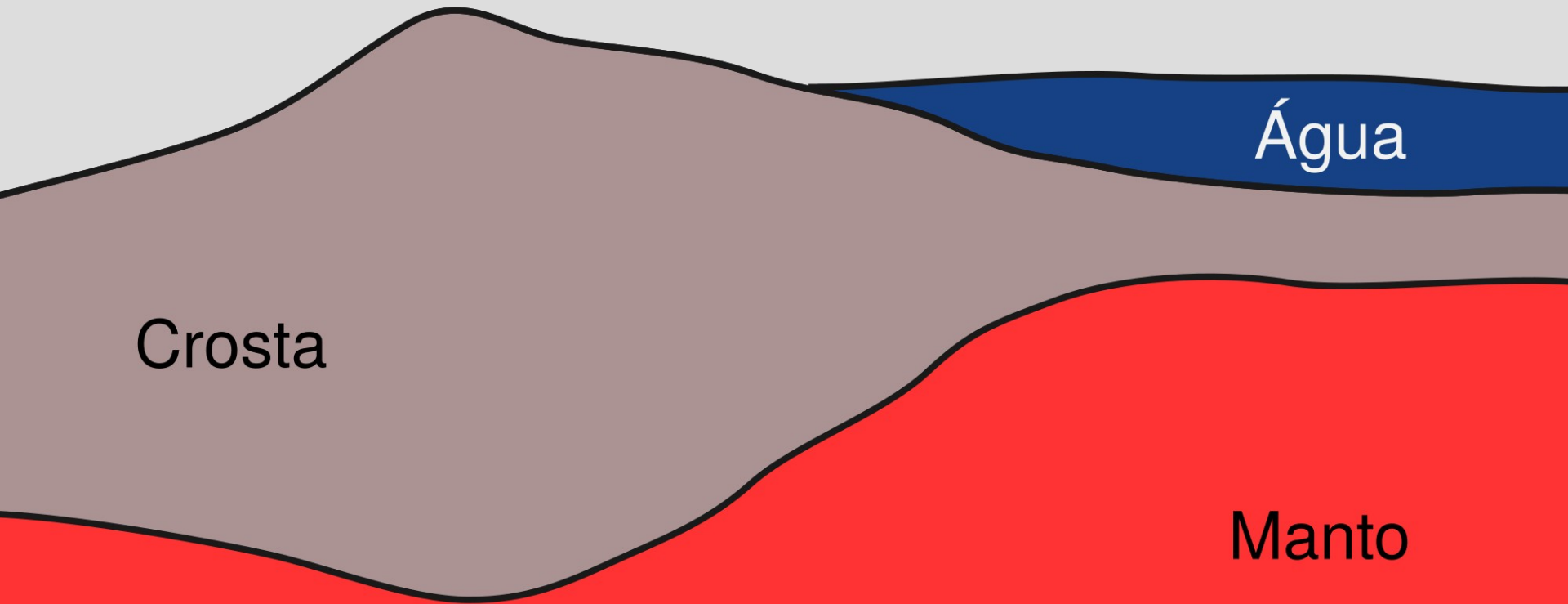
Terra Real

● P

Água

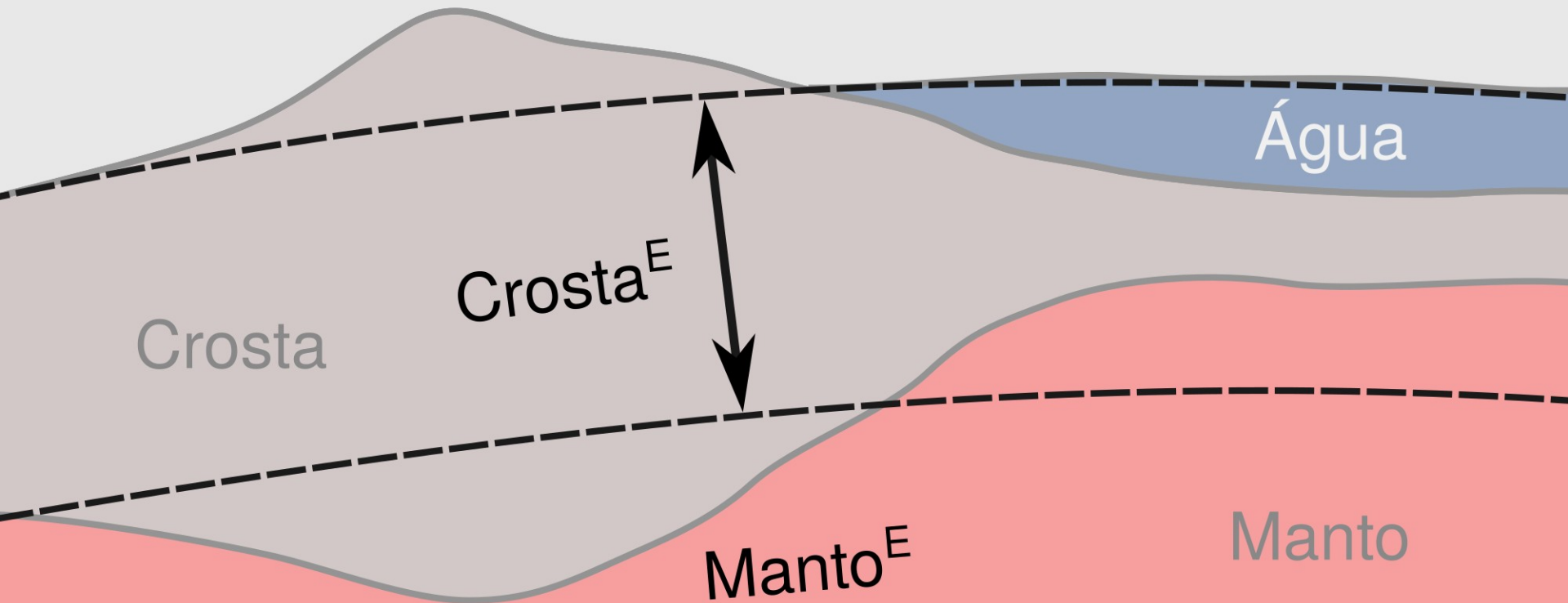
Crosta

Manto



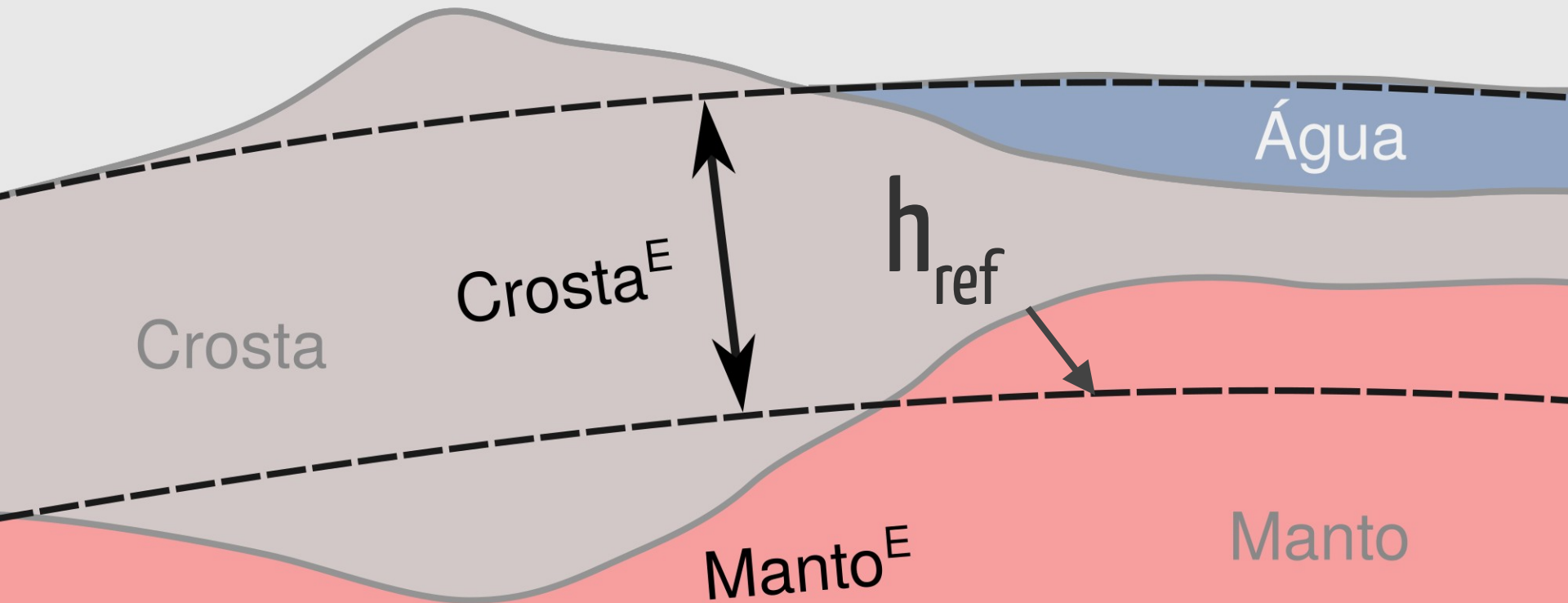
Terra Normal

● P



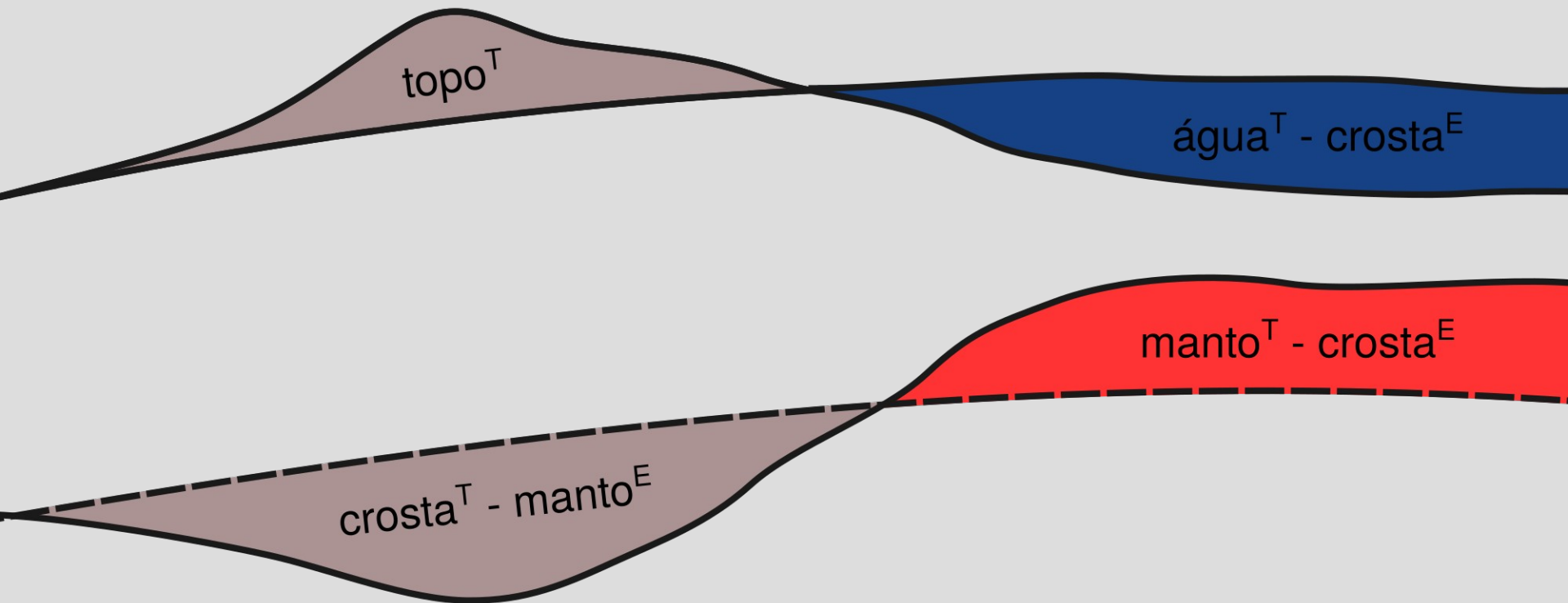
Terra Normal

● P



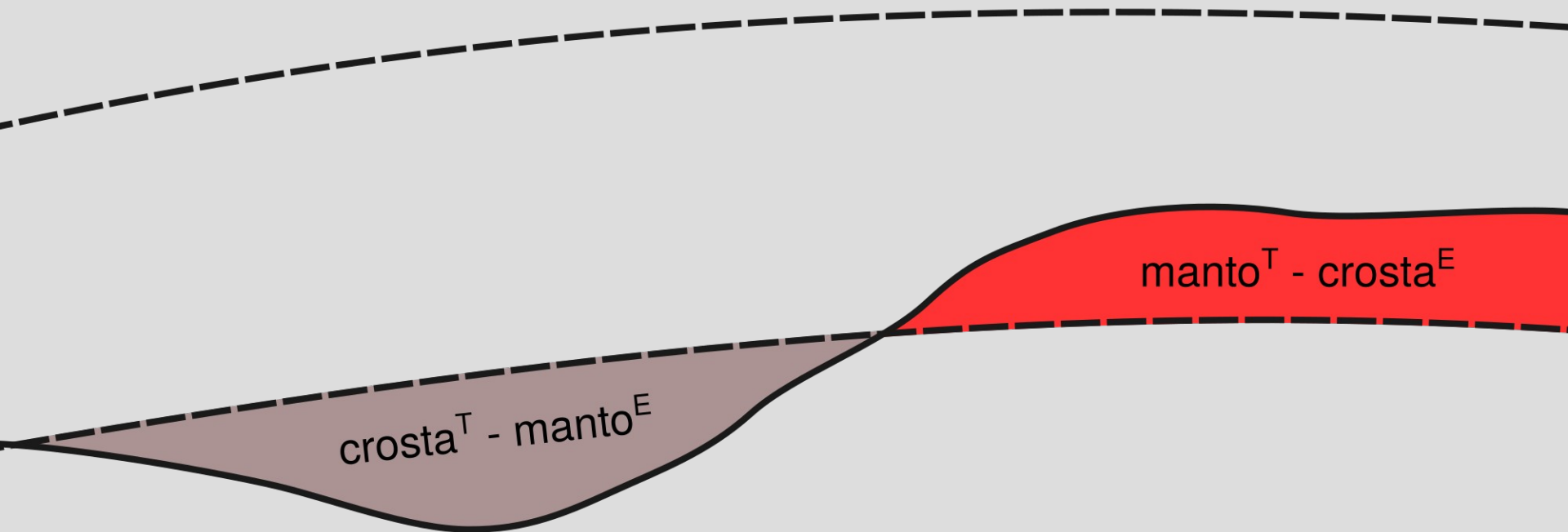
Distúrbio da gravidade

● P



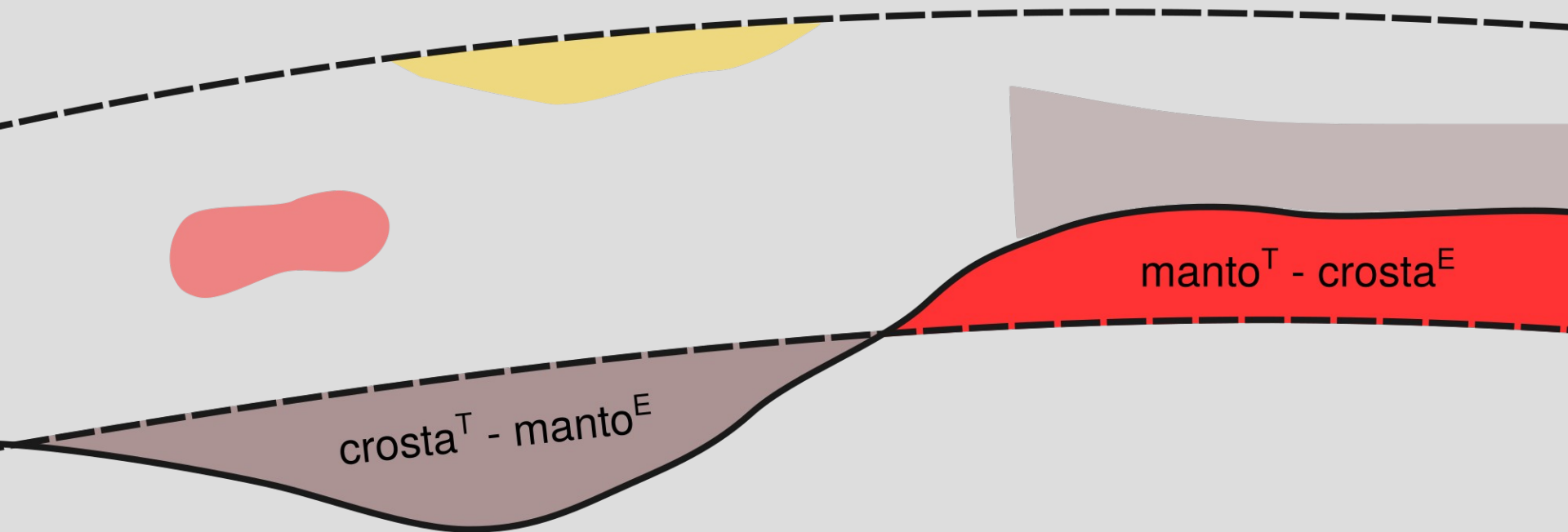
Anomalia Bouguer

● P



Anomalia Bouguer

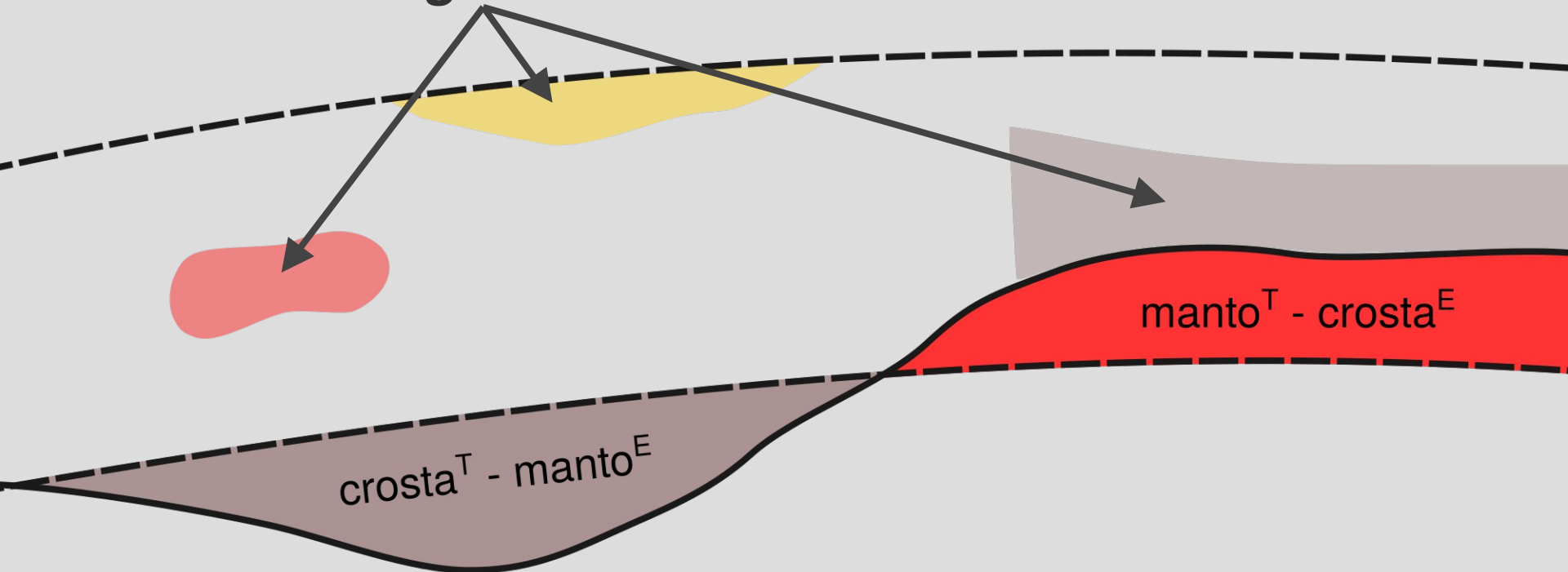
● P



Anomalia Bouguer

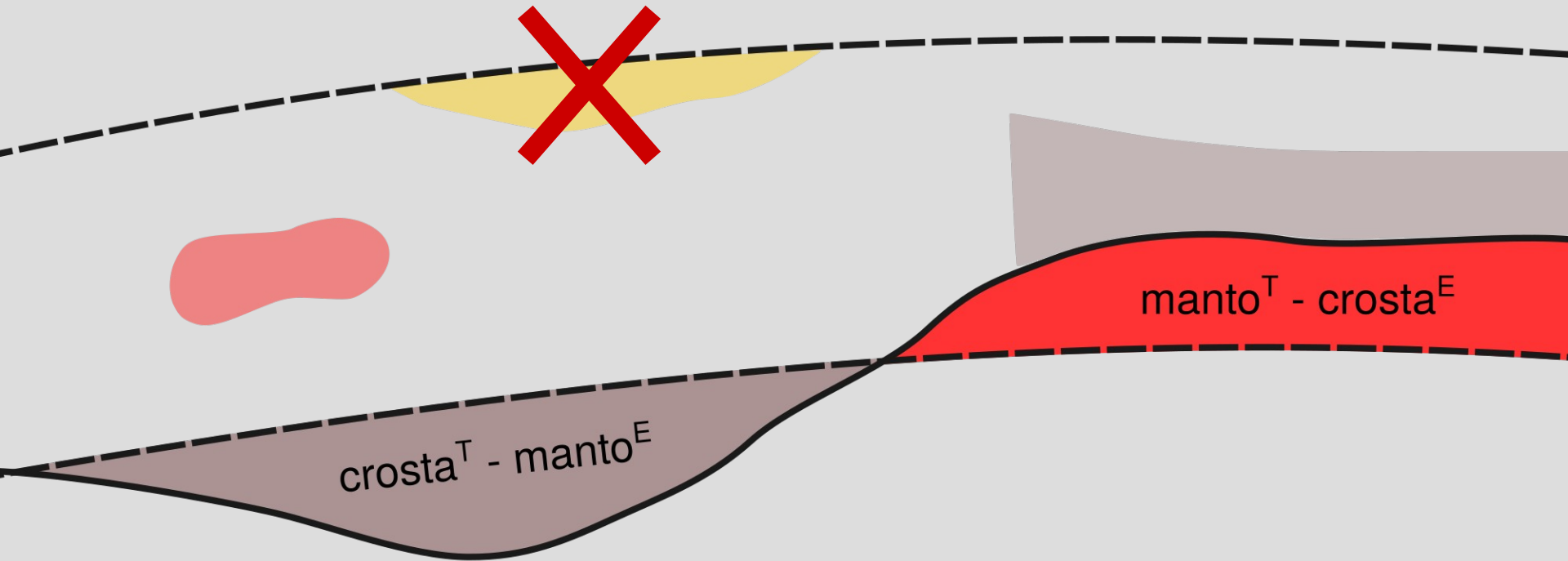
● P

Heterogeneidades

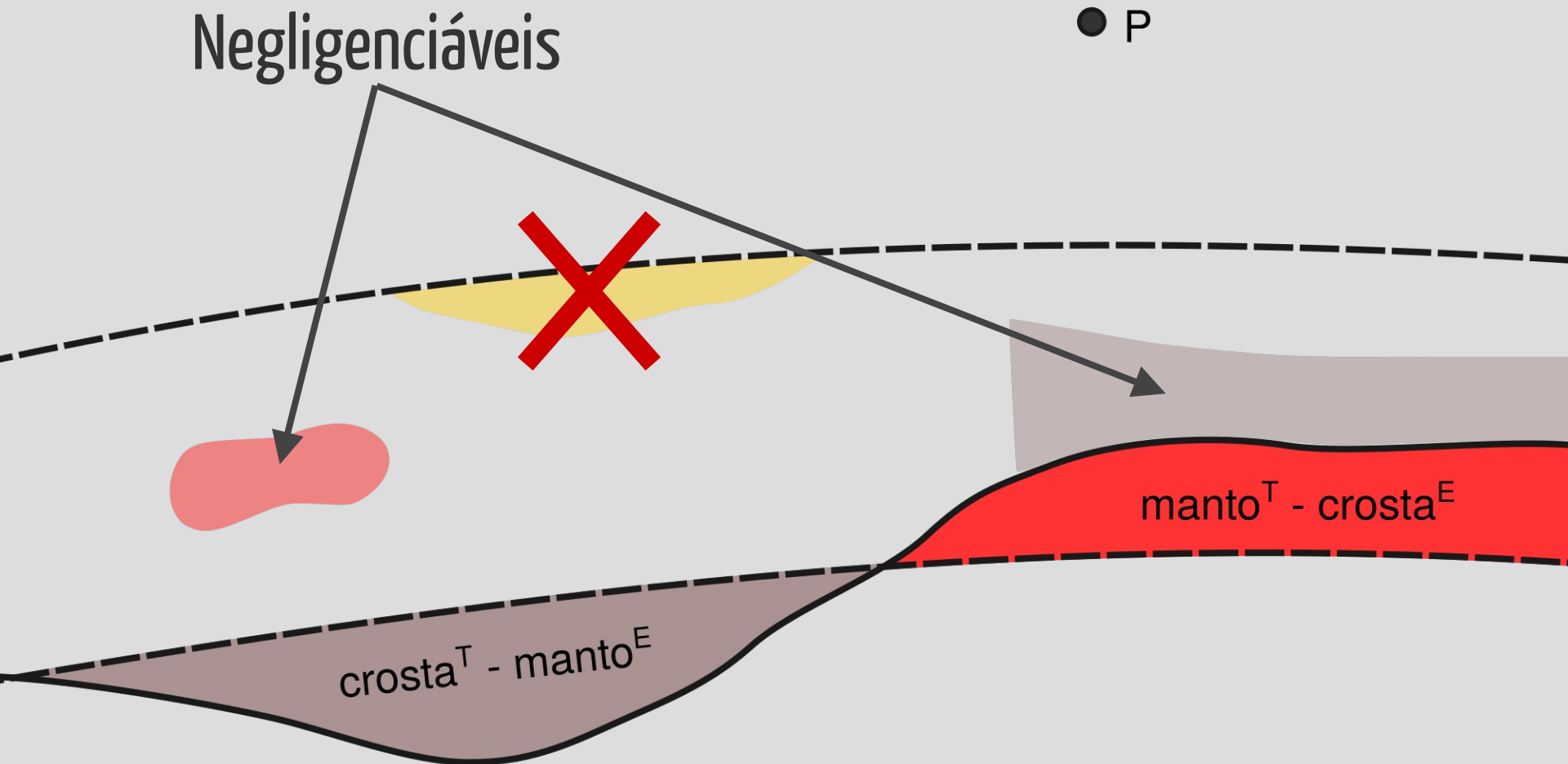


Anomalia Bouguer

● P

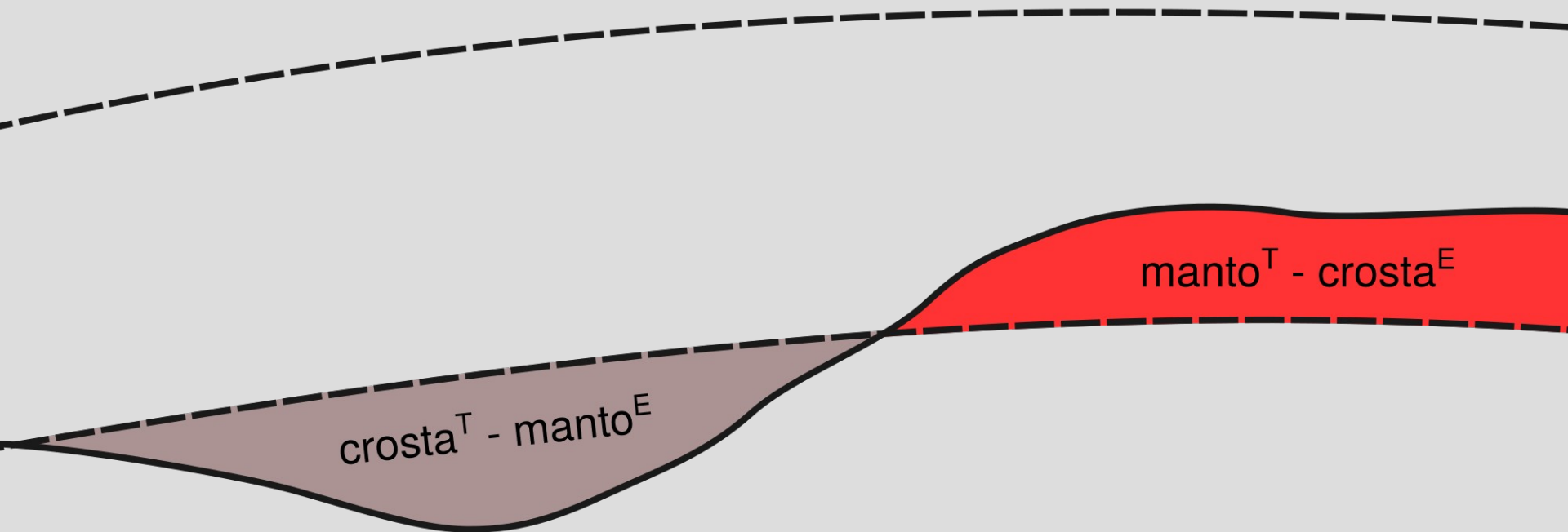


Anomalia Bouguer



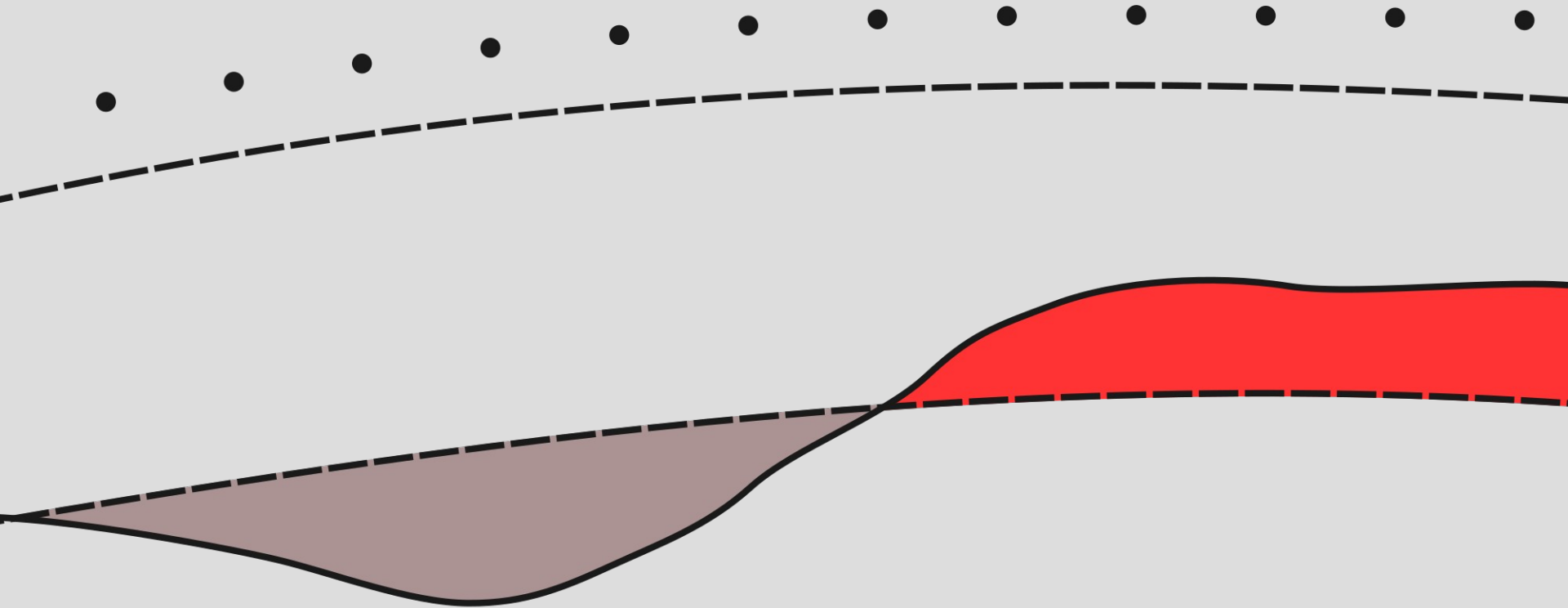
Bouguer → Moho

● P

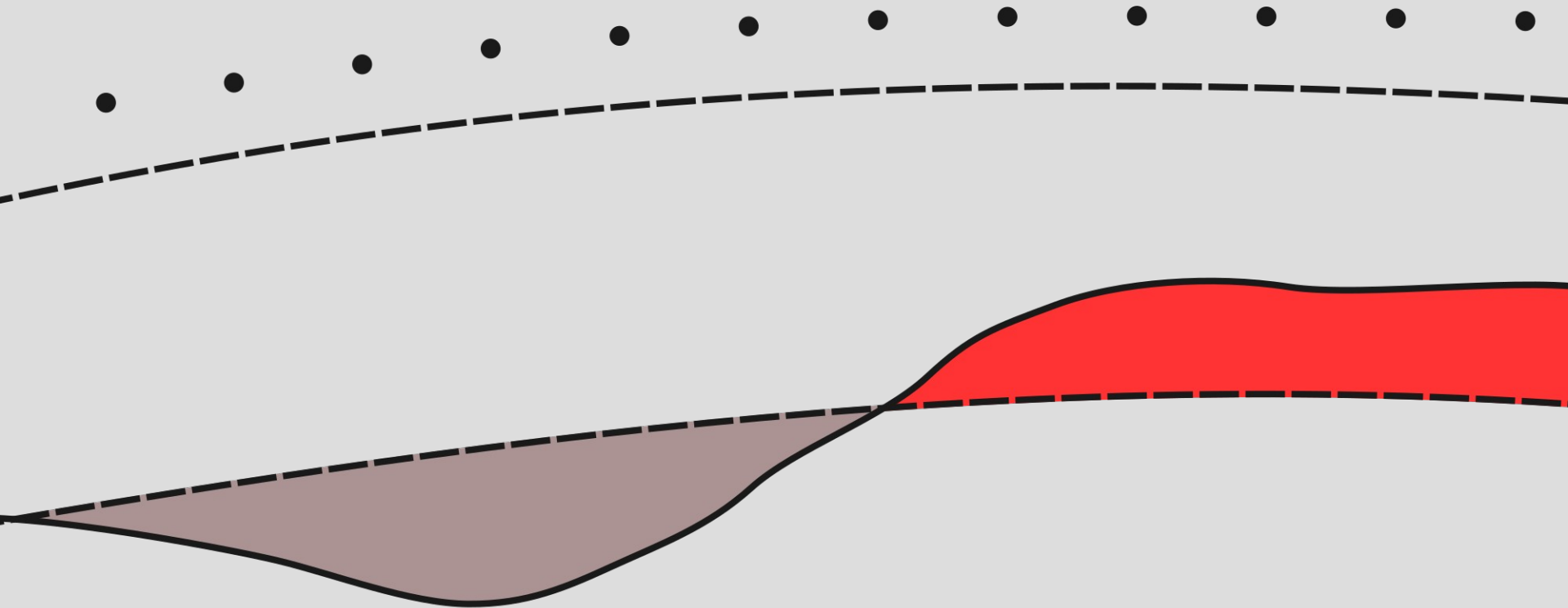


Parametrização

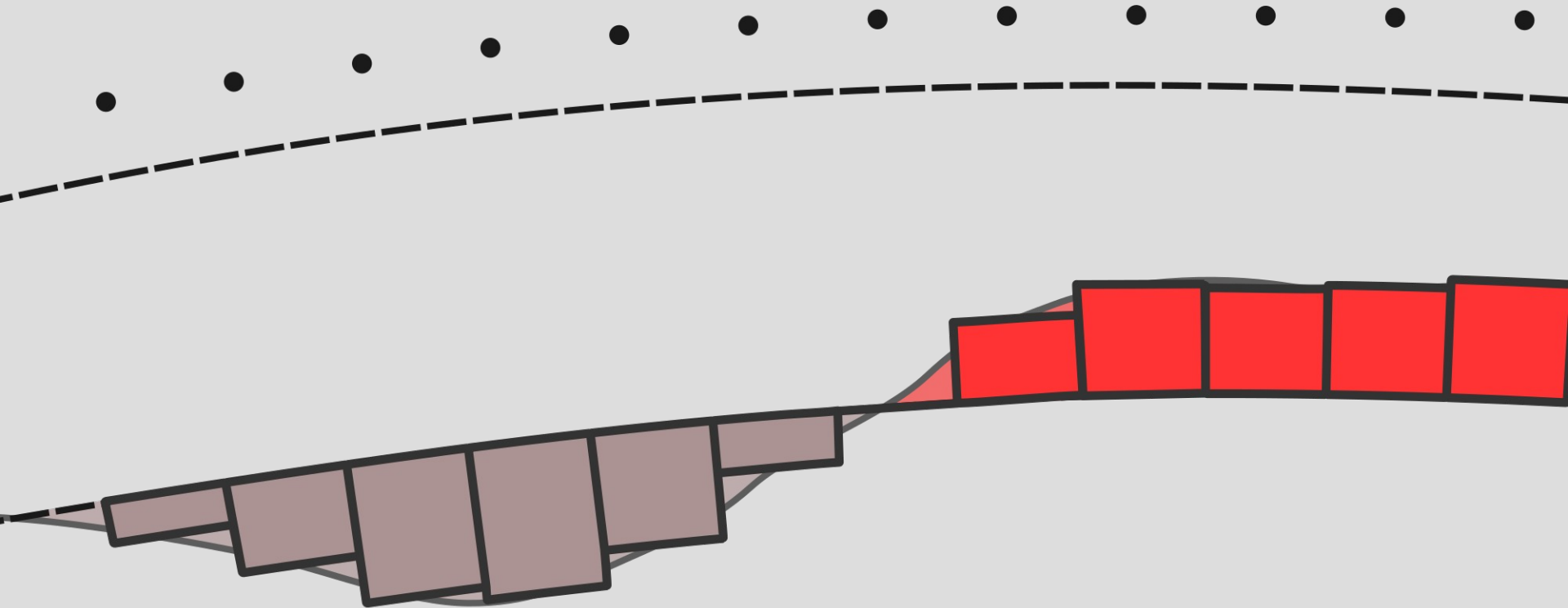
Grid de observações



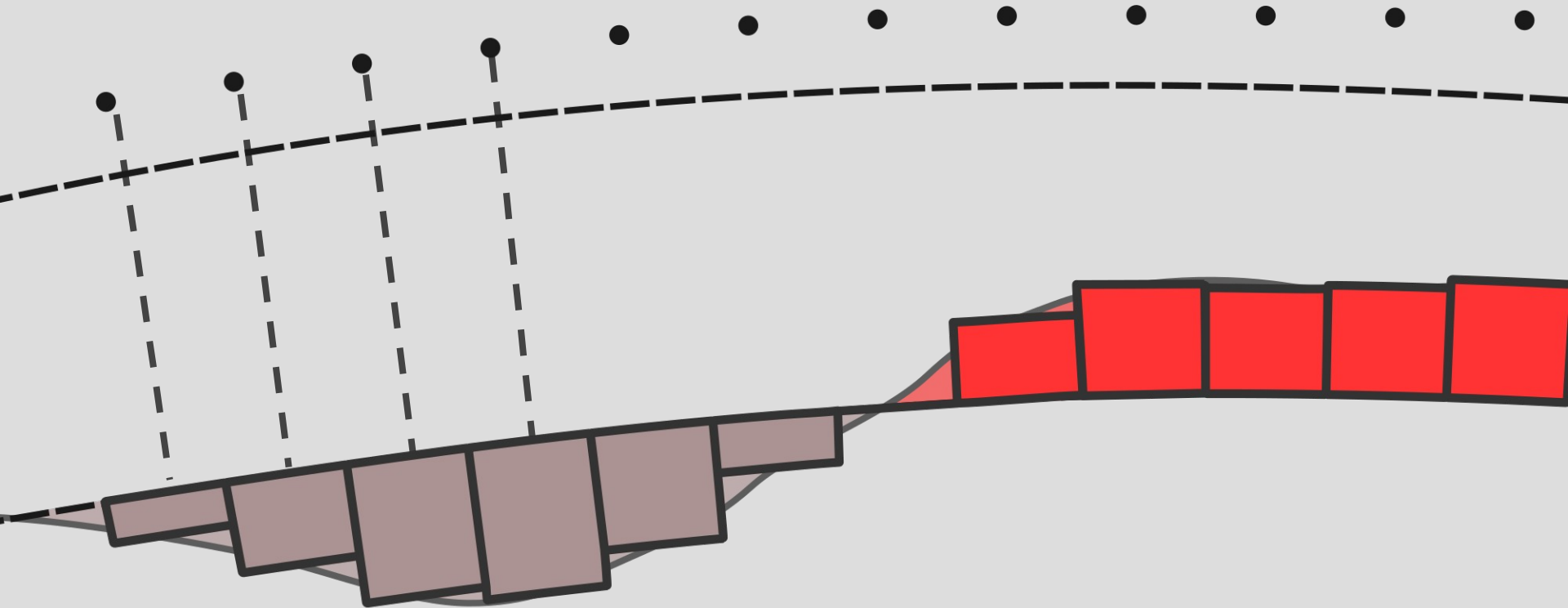
\bar{d}^0



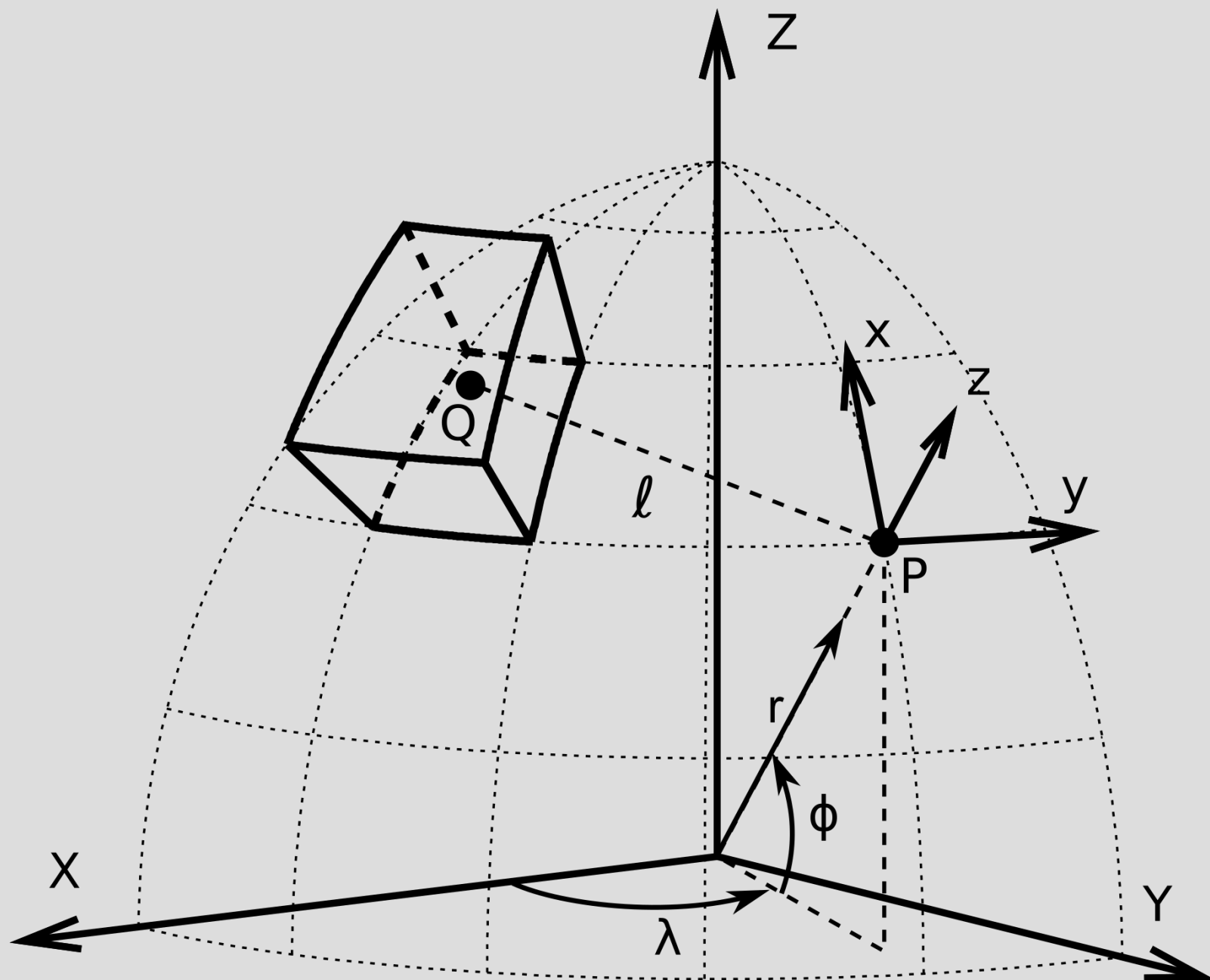
1 tesseroide para cada



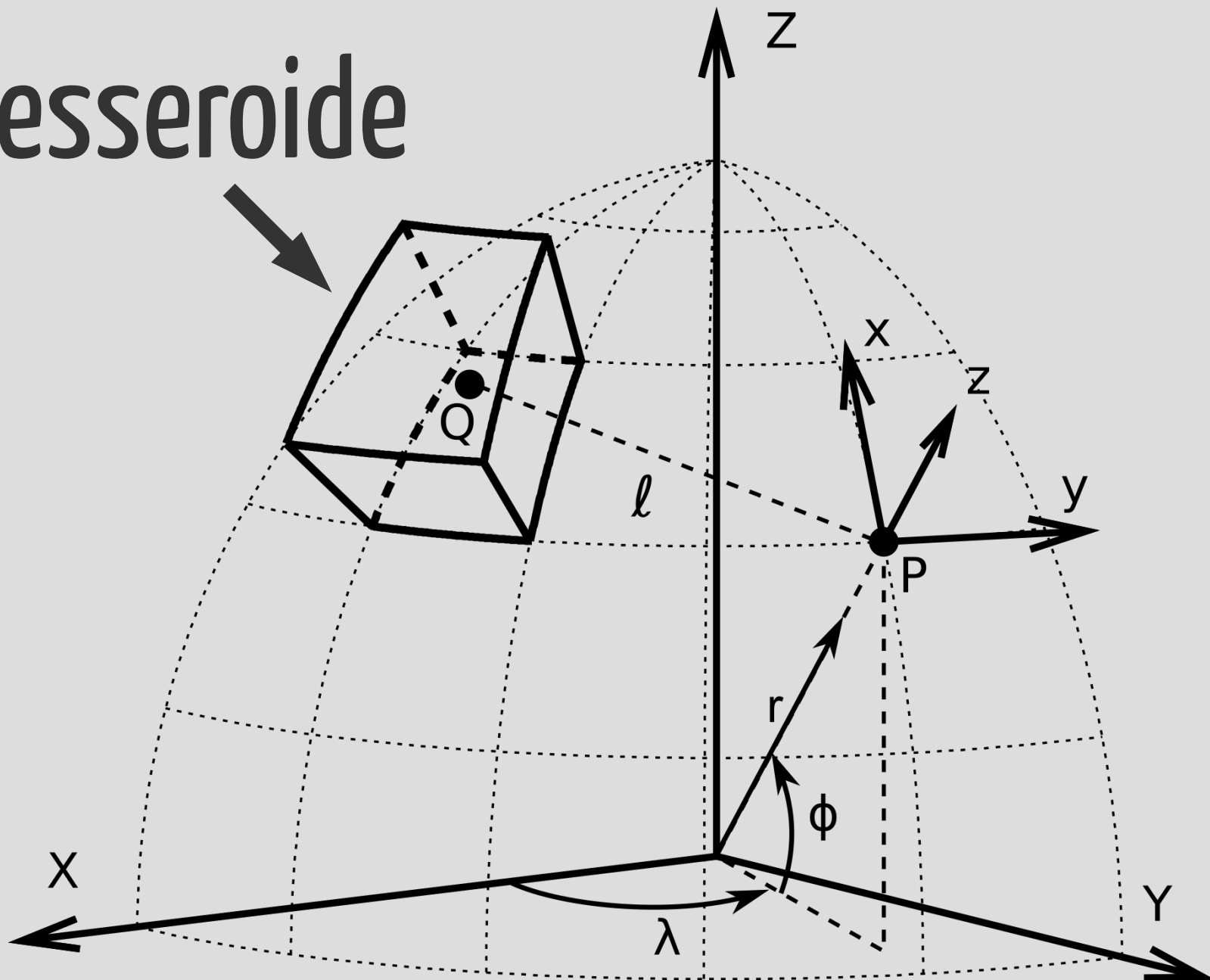
1 tesseroide para cada



(

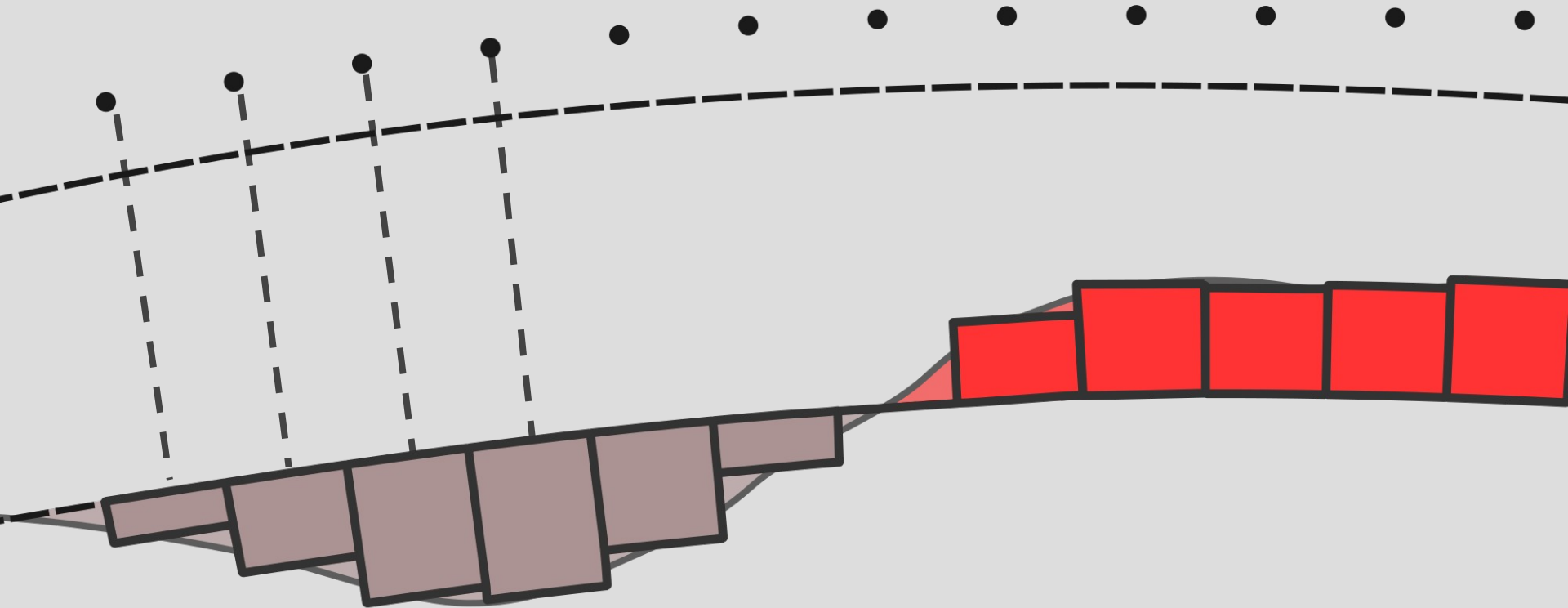


tesseroide

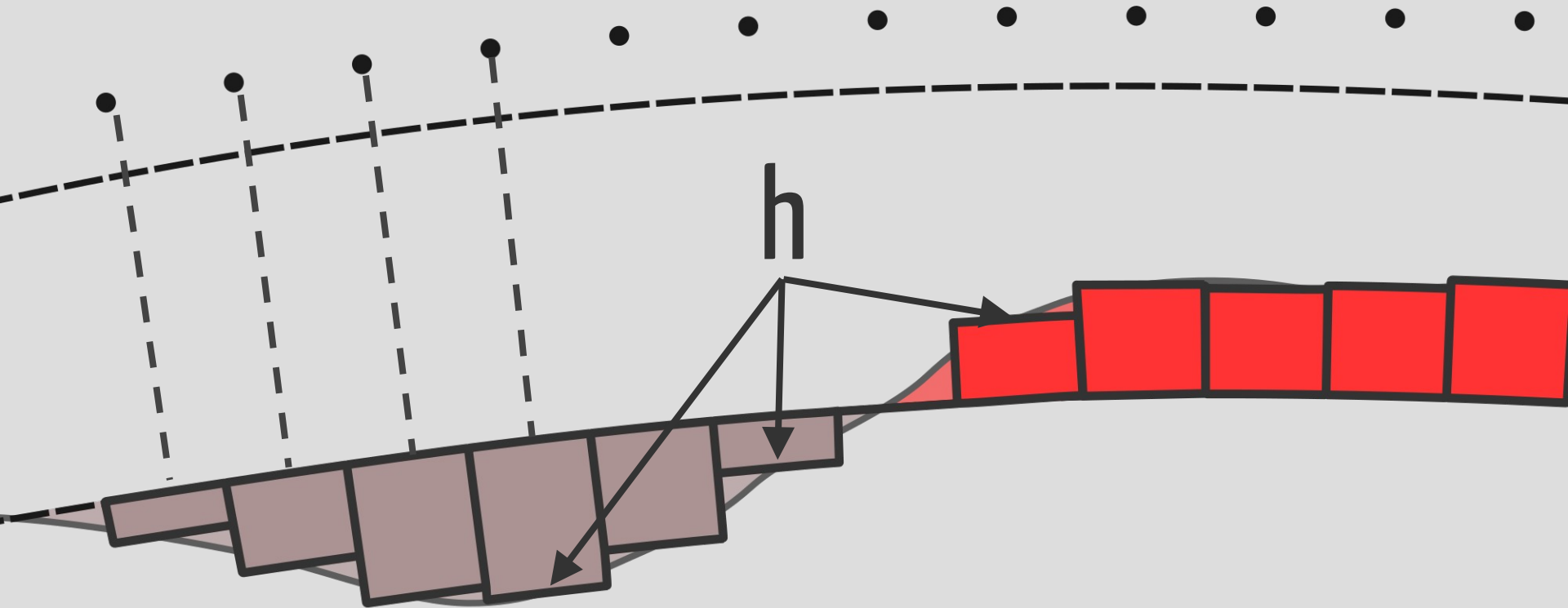




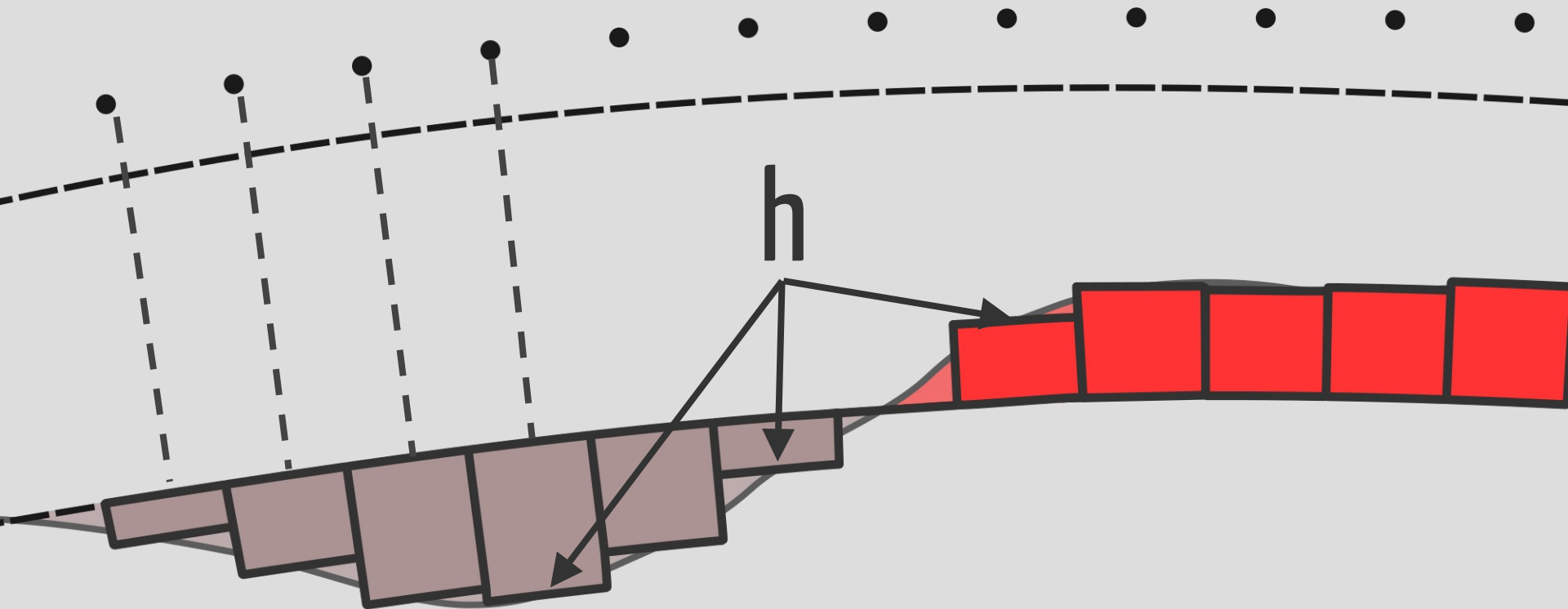
1 tesseroide para cada



parâmetros = h



$$\bar{p} \leftarrow h$$



Estimar \bar{p}

a partir de \bar{d}^o

Inversão

não-linear

Resíduos

$$\bar{r} = \bar{d}^o - \bar{d}(\bar{p})$$

Minimizar

$$\phi(\bar{p}) = ||\bar{r}||_2^2$$

Gauss-Newton

$$\Delta \bar{p} = (\bar{\bar{A}}^T \bar{\bar{A}})^{-1} \bar{\bar{A}}^T [\bar{d}^o - \bar{d}(\bar{p}^k)]$$

Gauss-Newton

$$\Delta \bar{p} = (\bar{\bar{A}}^T \bar{\bar{A}})^{-1} \bar{\bar{A}}^T [\bar{d}^o - \bar{d}(\bar{p}^k)]$$

$$A_{ij} = \frac{\partial d_i}{\partial p_j} \quad \underline{\text{Jacobiana}}$$

Gauss-Newton

mal posto

$$A_{ij} = \frac{\partial d_i}{\partial p_j} \quad \text{Jacobiana}$$

Regularização

Suavidade

$$\theta(\bar{p}) = ||\bar{\bar{R}} \bar{p}||_2^2$$

Função objetivo

$$\Gamma(\bar{p}) = \phi + \mu \theta$$

Função objetivo

ajuste



$$\Gamma(\bar{p}) = \phi + \mu \theta$$

Função objetivo

ajuste



$$\Gamma(\bar{p}) = \phi + \mu \theta$$

regularização



Função objetivo

ajuste balanço

$$\Gamma(\bar{p}) = \phi + \mu \theta$$

regularização

The diagram illustrates the components of the objective function $\Gamma(\bar{p}) = \phi + \mu \theta$. The term ϕ is associated with 'ajuste' (adjustment), $\mu \theta$ is associated with 'balanço' (balance), and μ is associated with 'regularização' (regularization).

Gauss-Newton

$$\Delta \bar{p} = (\bar{\bar{A}}^T \bar{\bar{A}} + \mu \bar{\bar{R}}^T \bar{\bar{R}})^{-1} [\bar{\bar{A}}^T \bar{r}^k - \mu \bar{\bar{R}}^T \bar{\bar{R}} \bar{p}^k]$$

Gauss-Newton

custoso

$$\Delta p = (A^T A + \mu K^T K)^{-1} [$$

(computacionalmente)

1. Construire \bar{A}

1. Construir $\bar{\bar{A}}$

2. Sistema linear

1. Construir \bar{A}

2. Sistema linear

3. Calcular \bar{r}

Bott

(1960)

$$\Delta \bar{p} = \frac{\bar{r}}{2 \pi G \Delta \rho}$$

$$\Delta \bar{p} = \frac{\bar{r}}{2 \pi G \Delta \rho}$$



∂ platô de Bouguer
 ∂h

1. Construir \bar{A}

2. Sistema linear

3. Calcular \bar{r}

1. Construir \bar{A}

2. Sistema linear

3. Calcular \bar{r}

rápido

pouca memória

converge

instável
regularização
“empírico”

Silva et al.

(2014)

Bott

Bott



caso
particular

Gauss-Newton

$$\Delta p = \frac{\bar{r}}{2 \pi G \Delta \rho}$$



caso
particular

$$\Delta p = (\bar{\bar{A}}^T \bar{\bar{A}})^{-1} \bar{\bar{A}}^T \bar{r}$$

$$\Delta^- p = \frac{\bar{r}}{2 \pi G \Delta \rho}$$



caso
particular

$$\Delta^- p = \left(\bar{\bar{A}}^T \bar{\bar{A}} \right)^{-1} \bar{\bar{A}}^T \bar{r}$$

$$\Delta^- p = \frac{\bar{r}}{2 \pi G \Delta \rho}$$

$$A_{ii} = 2 \pi G \Delta \rho$$

$$A_{ij} = 0 \text{ para } i \neq j$$

caso
particular

$$\Delta^- p = \left(\bar{\bar{A}}^T \bar{\bar{A}} \right)^{-1} \bar{\bar{A}}^T \bar{r}$$

$$\bar{\bar{A}}$$



$$\begin{pmatrix} 2\pi G \Delta \rho & 0 & \cdots & 0 \\ 0 & 2\pi G \Delta \rho & \cdots & 0 \\ \vdots & \vdots & \ddots & \vdots \\ 0 & 0 & \cdots & 2\pi G \Delta \rho \end{pmatrix}$$

Generalizar

$$\Delta \overline{p} = \frac{\overline{r}}{b^k}$$

Generalizar

$$\Delta^- p = \frac{\bar{r}}{b^k}$$

Regular passo (~ Marquardt)

sem matrizes
regular passo
média móvel

Nesse

trabalho

Gauss-Newton

$$\Delta \bar{p} = (\bar{\bar{A}}^T \bar{\bar{A}})^{-1} \bar{\bar{A}}^T [\bar{d}^o - \bar{d}(\bar{p}^k)]$$

Gauss-Newton


$$\Delta \bar{p} = (\bar{A}^T \bar{A})^{-1} \bar{A}^T [\bar{d}^o - \bar{d}(\bar{p}^k)]$$

tesseroides



Gauss-Newton

$$\Delta \bar{p} = (\bar{\bar{A}}^T \bar{\bar{A}})^{-1} \bar{\bar{A}}^T [\bar{d}^o - \bar{d}(\bar{p}^k)]$$


$$A_{ii} = 2 \pi G \Delta \rho_i$$



tesseroïdes

Gauss-Newton

$$\Delta \bar{p} = (\bar{\bar{A}}^T \bar{\bar{A}})^{-1} \bar{\bar{A}}^T [\bar{d}^o - \bar{d}(\bar{p}^k)]$$

$$A_{ii} = 2 \pi G \Delta \rho_i$$

por tesserioide

tesseroides

Por que?

$$A_{ii} = 2\pi G \Delta \rho_i$$

tesseroide \rightarrow ∞

tesseroide \longrightarrow ∞

g \longrightarrow $2\pi G \Delta \rho h$

tesseroide \longrightarrow ∞

$$g \longrightarrow 2 \pi G \Delta \rho h$$

$$A_{ii} = \frac{\partial g}{\partial h} \longrightarrow 2 \pi G \Delta \rho$$

tesseroide

de 0.5^0

tesseroide

de 0.5°


$\approx 55 \text{ km}$

Regularização


suavidade

$$\Delta \bar{p} = \left(\bar{\bar{A}}^T \bar{\bar{A}} + \mu \bar{\bar{R}}^T \bar{\bar{R}} \right)^{-1} \left[\bar{\bar{A}}^T \bar{r}^k - \mu \bar{\bar{R}}^T \bar{\bar{R}} \bar{p}^k \right]$$

esparsas


$$\Delta \bar{p} = (\bar{A}^T \bar{A} + \mu \bar{R}^T \bar{R})^{-1} [\bar{A}^T \bar{r}^k - \mu \bar{R}^T \bar{R} \bar{p}^k]$$

esparsas


$$\Delta \bar{p} = (\bar{\bar{A}}^T \bar{\bar{A}} + \mu \bar{\bar{R}}^T \bar{\bar{R}})^{-1} [$$

$$\bar{\bar{A}}^T \bar{r}^k - \mu \bar{\bar{R}}^T \bar{\bar{R}} \bar{p}^k]$$



~99.9% tempo de computação

1. Construir \bar{A}

2. Sistema linear

3. Calcular \bar{r}

1. Construir \bar{A}
Bott

2. Sistema linear

3. Calcular \bar{r}

1. Construir \bar{A}
Bott

2. Sistema linear
matrizes esparsas

3. Calcular \bar{r}

rápido

pouca memória

converge

instável
regularização
“empírico”

~~instável~~

~~regularização~~

~~“empírico”~~

Implementação



pythonTM



fatiando a terra

modeling and inversion in geophysics

matrizes esparsas

estimar

hyperparâmetros

μ

$\Delta \rho$

h_{ref}

μ regularização

$\Delta \rho$

h_{ref}

μ

regularização

contraste

densidade

Δ

ρ

h_{ref}

μ

regularização

contraste

densidade

Δ

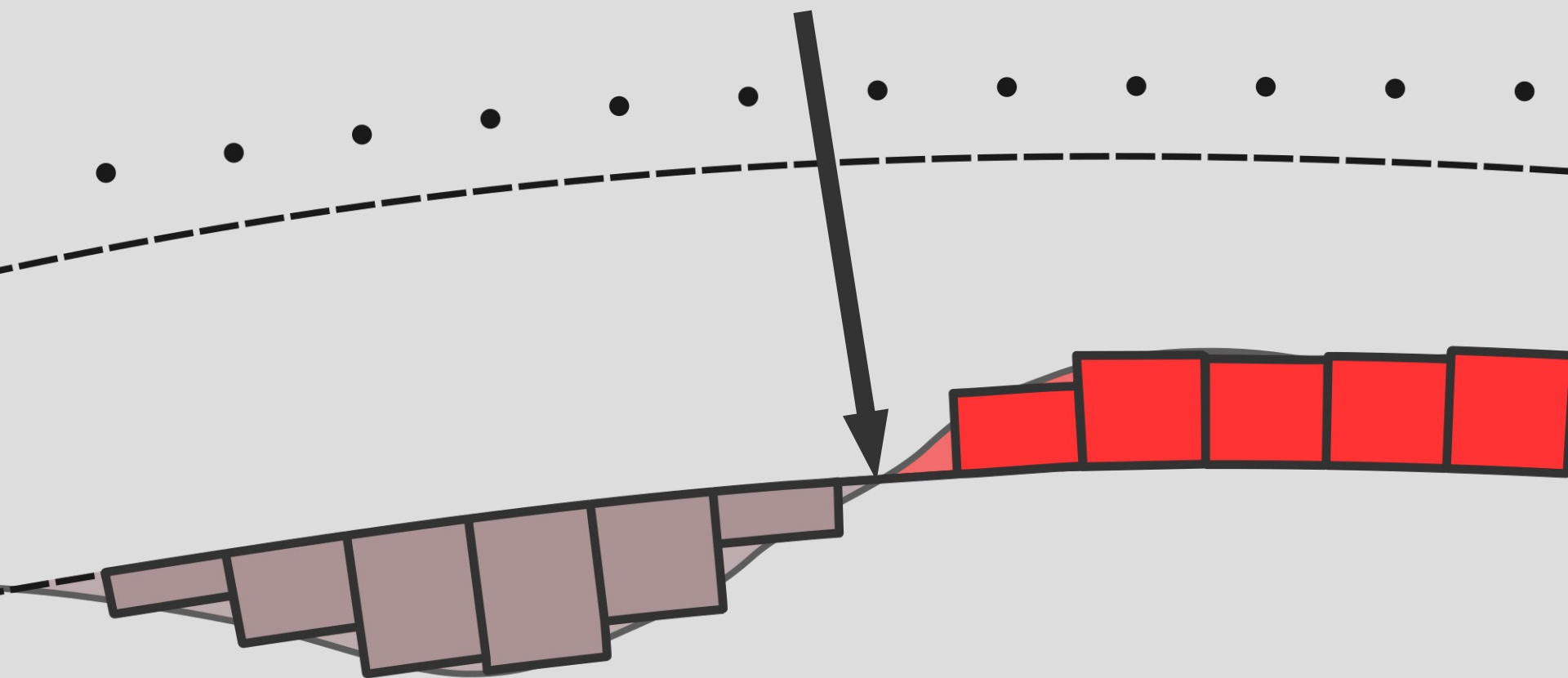
ρ

Moho

Terra Normal

h_{ref}

h_{ref}



validação cruzada

validação

cruzada

μ

validação

μ

cruzada

$\Delta \rho$

h_{ref}

validação

μ

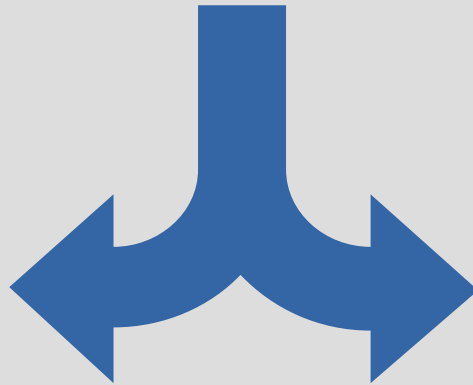
cruzada

$\Delta \rho$

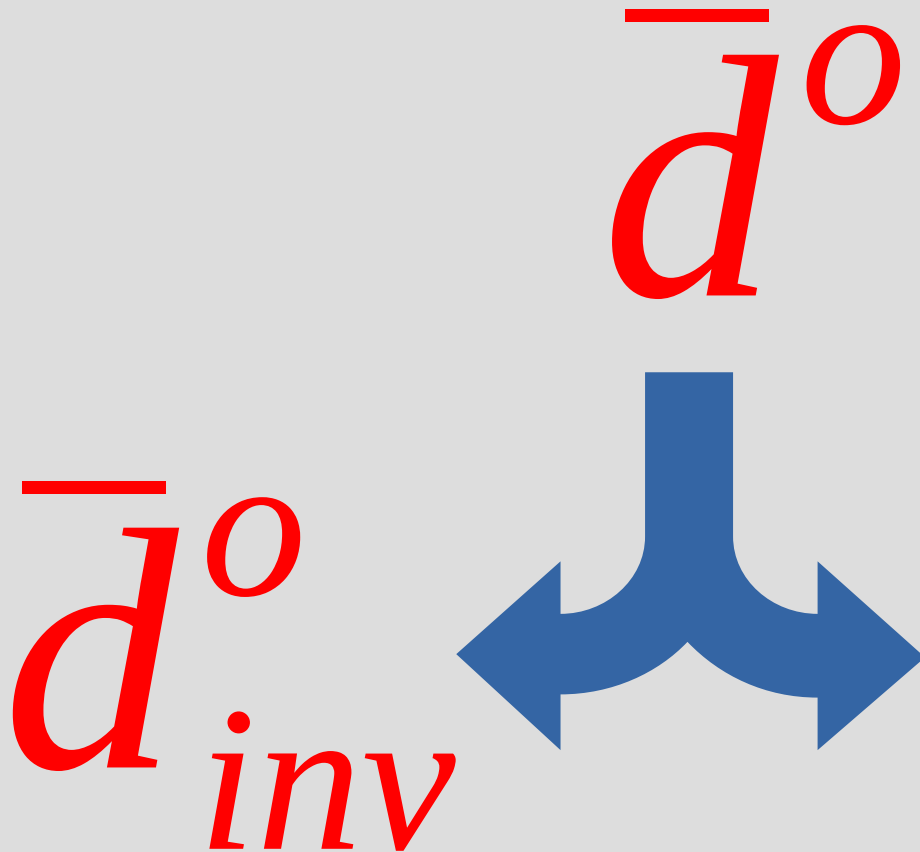
h_{ref}

Separar os dados

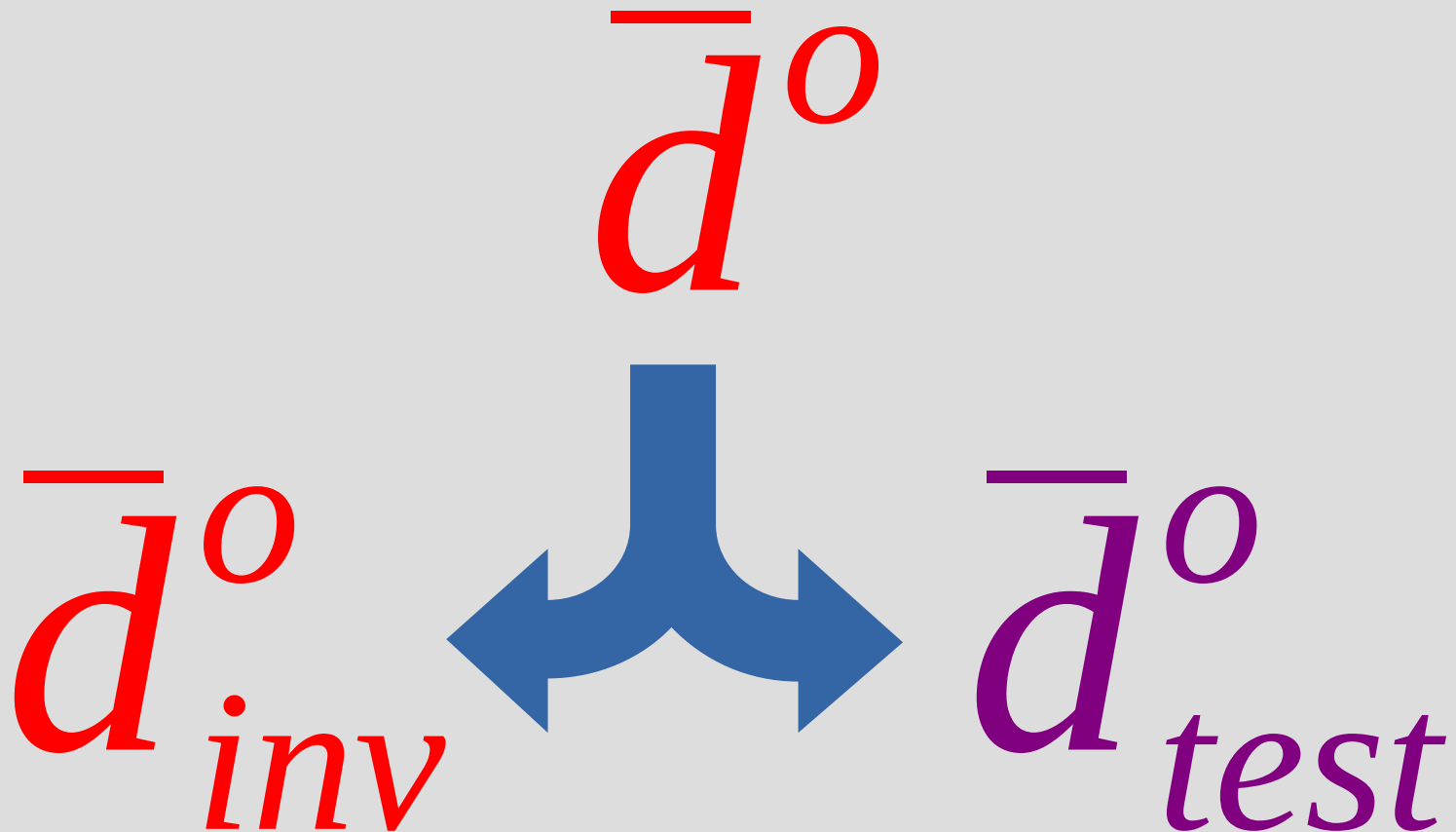
\bar{d}^o



Separar os dados



Separar os dados



para μ_i em $[\mu_1, \dots, \mu_m]$:

para μ_i em $[\mu_1, \dots, \mu_m]$:

inversão: $\bar{d}_{inv}^o \rightarrow \hat{p}_i$

para μ_i em $[\mu_1, \dots, \mu_m]$:

inversão: $\bar{d}_{inv}^o \rightarrow \hat{\bar{p}}_i$

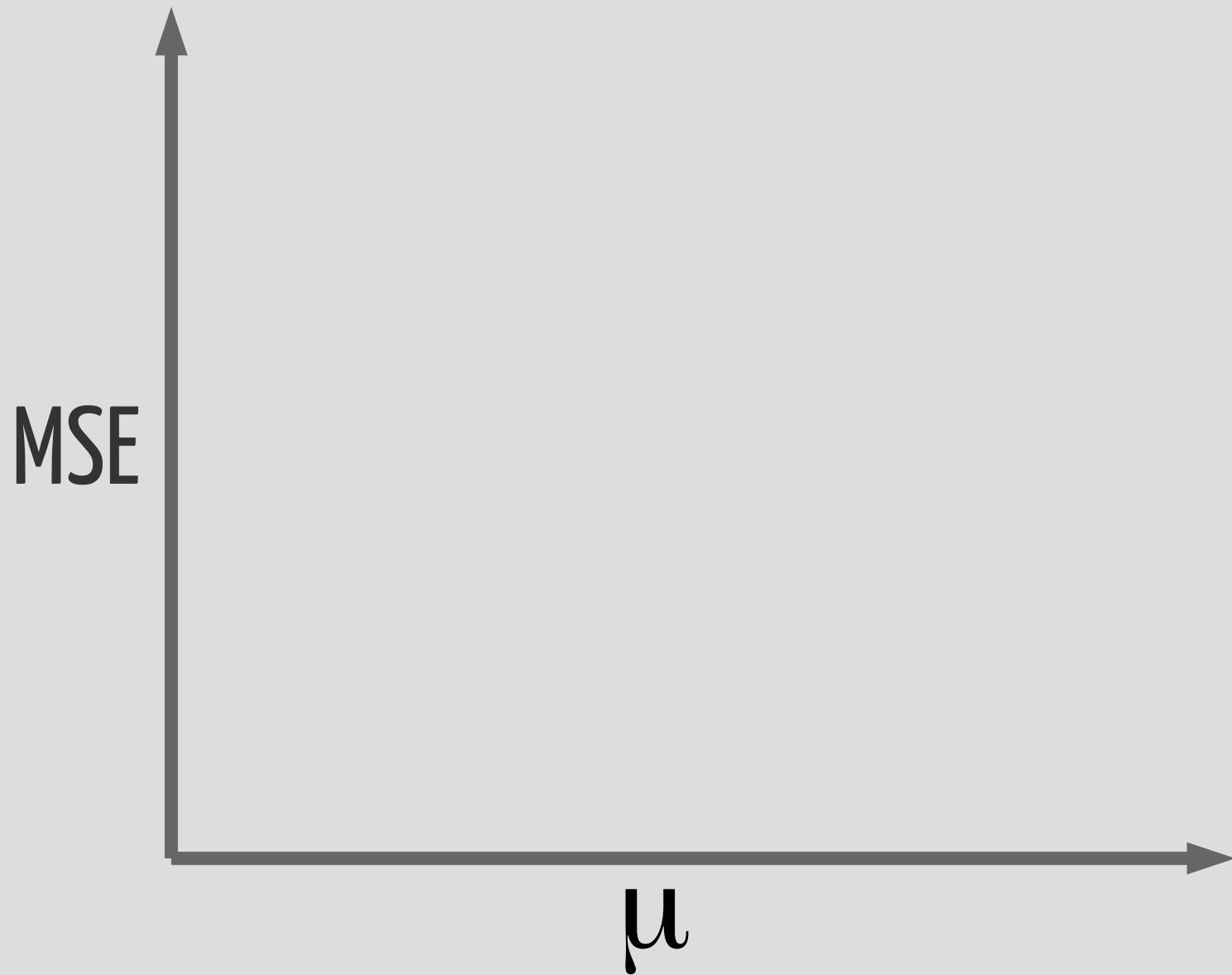
$\hat{\bar{p}}_i \rightarrow$ prever \bar{d}_{test}

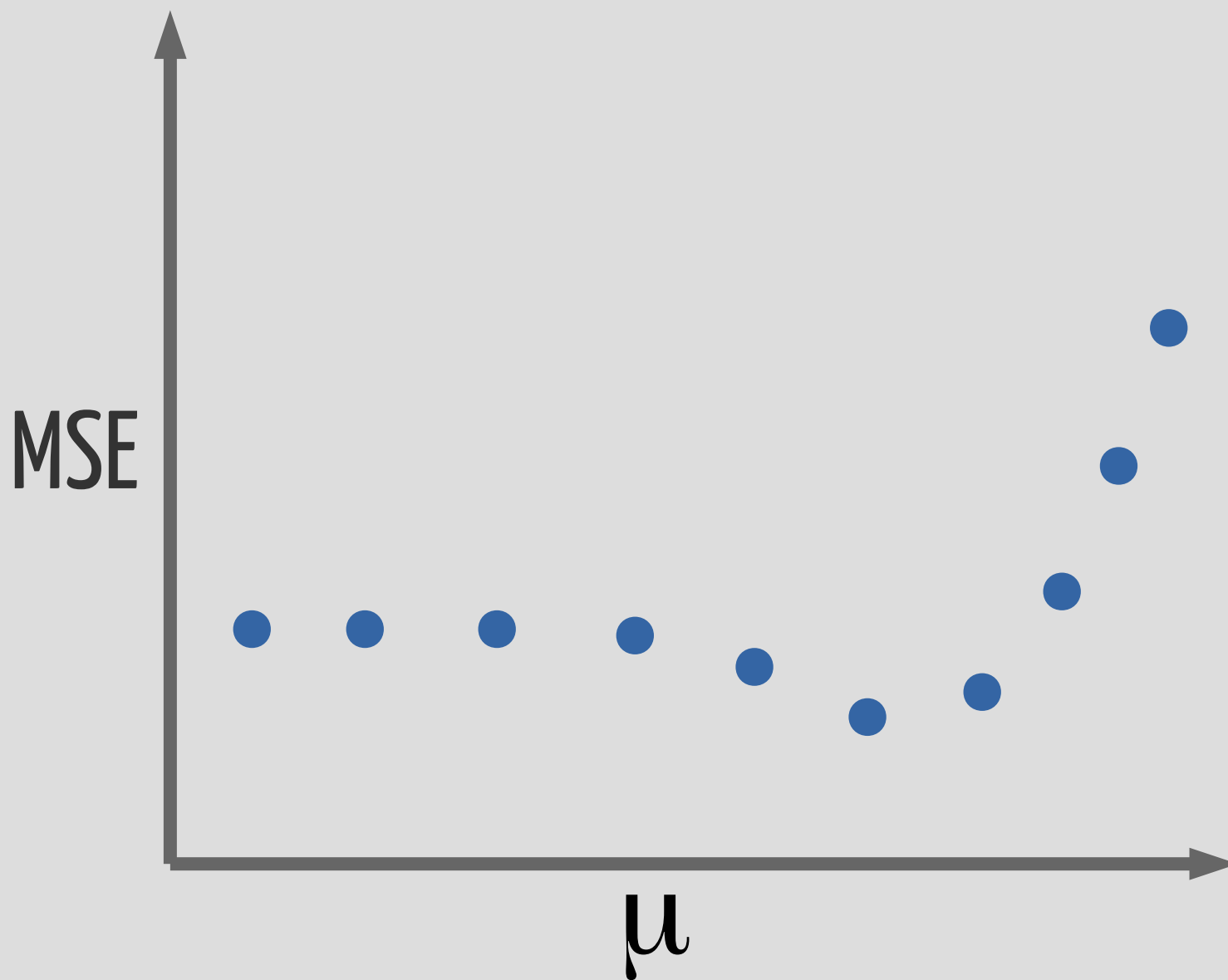
para μ_i em $[\mu_1, \dots, \mu_m]$:

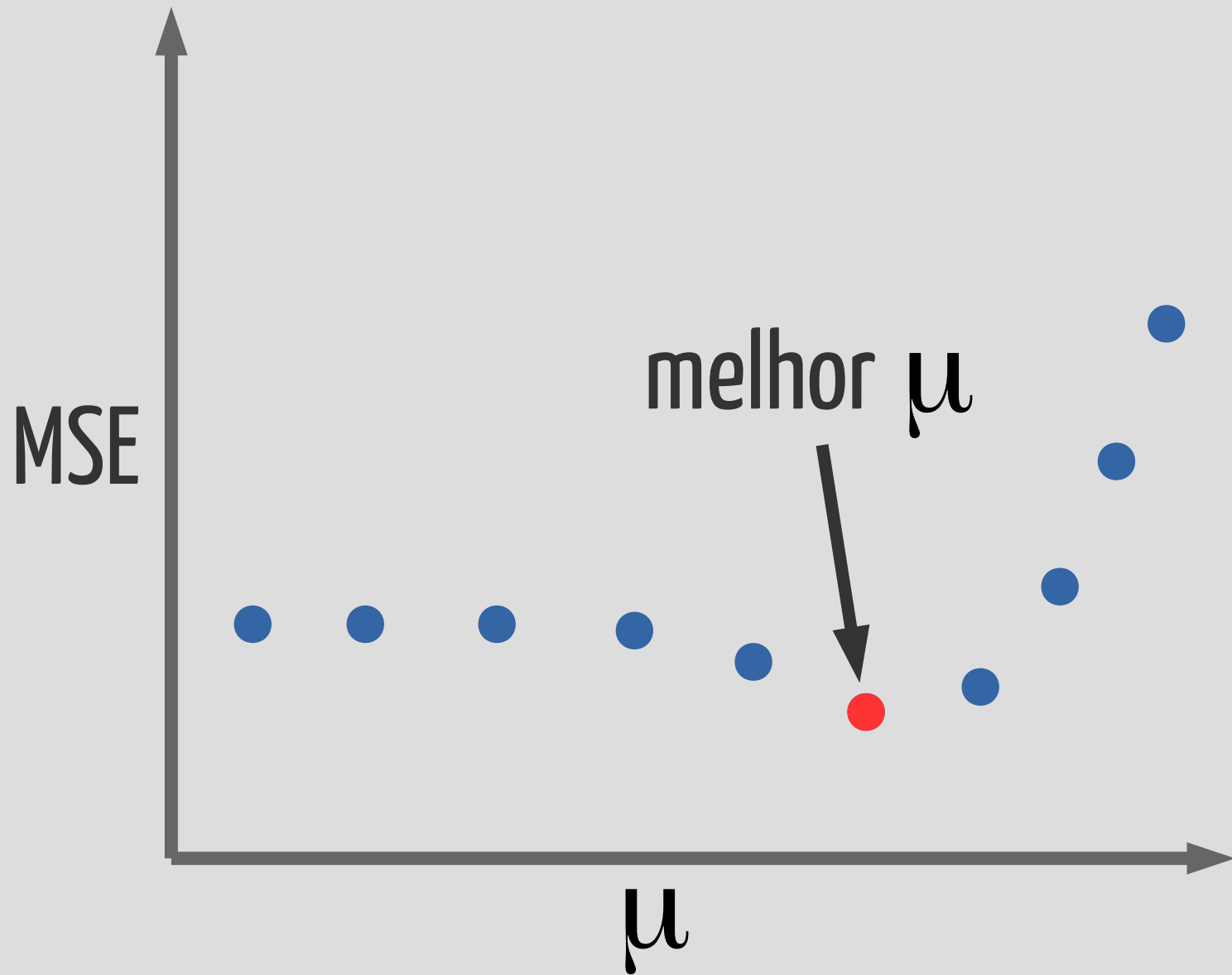
inversão: $\bar{d}_{inv}^o \rightarrow \hat{\bar{p}}_i$

$\hat{\bar{p}}_i \rightarrow$ prever \bar{d}_{test}

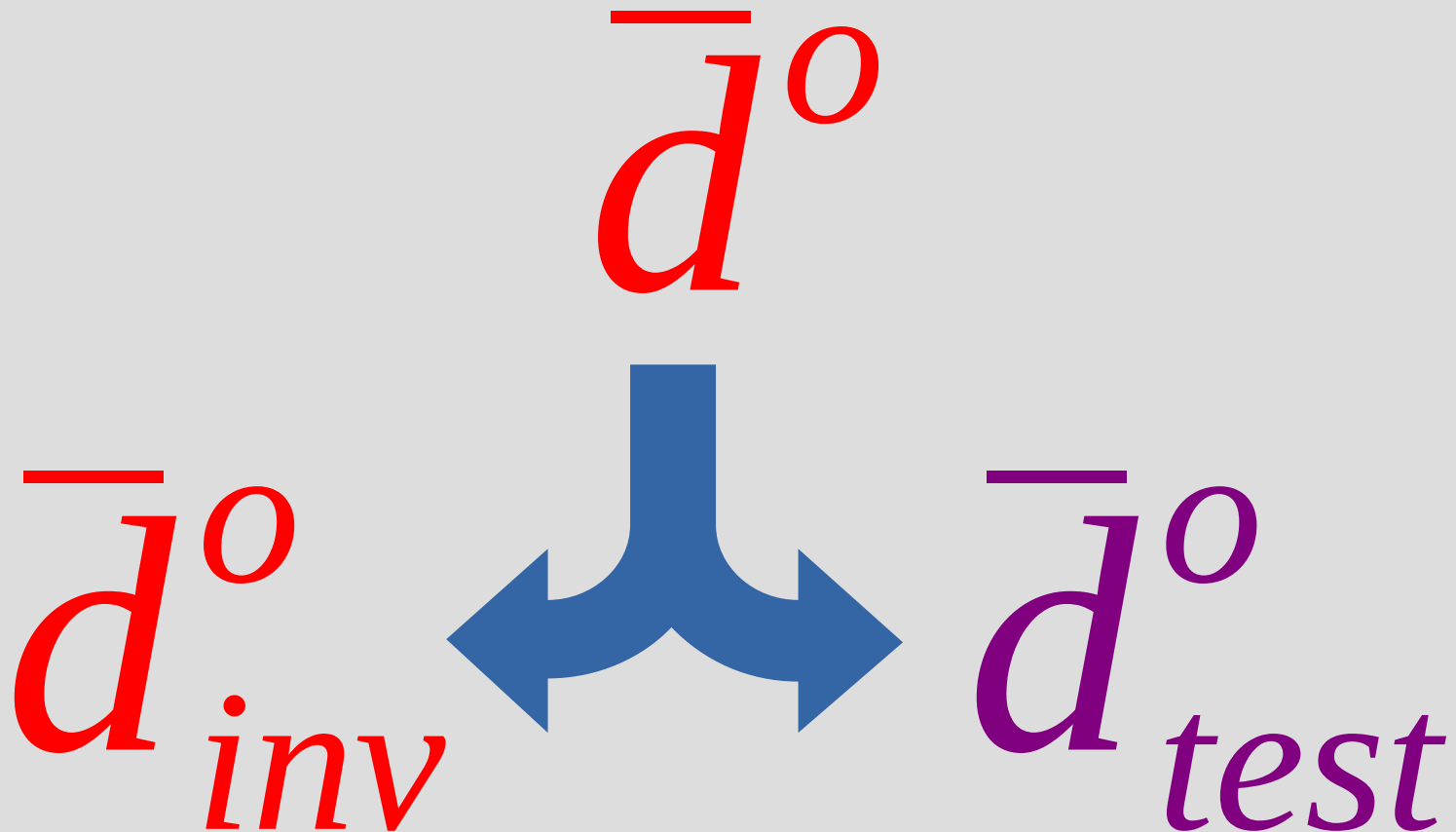
$$MSE = \frac{\|\bar{d}_{test}^o - \bar{d}_{test}\|^2}{N_{test}}$$



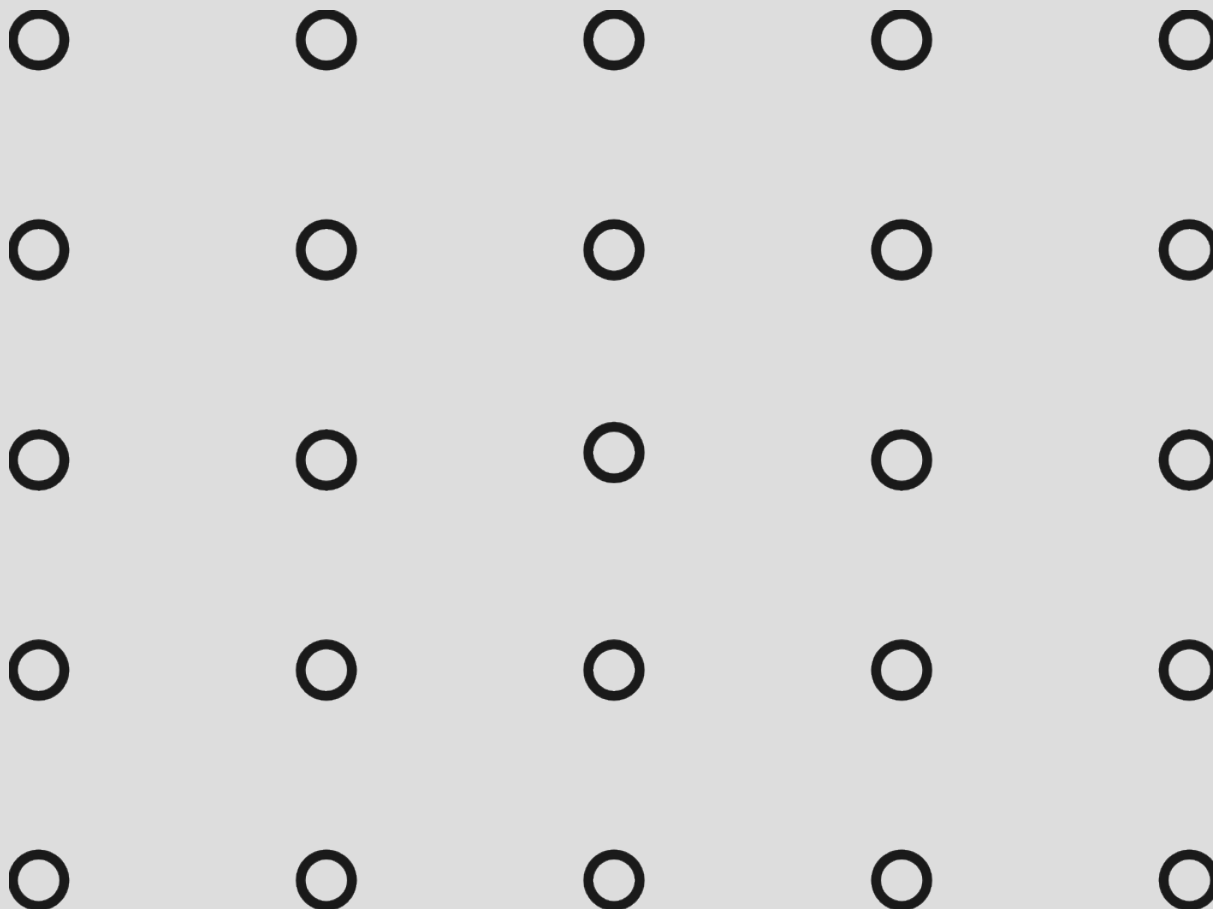




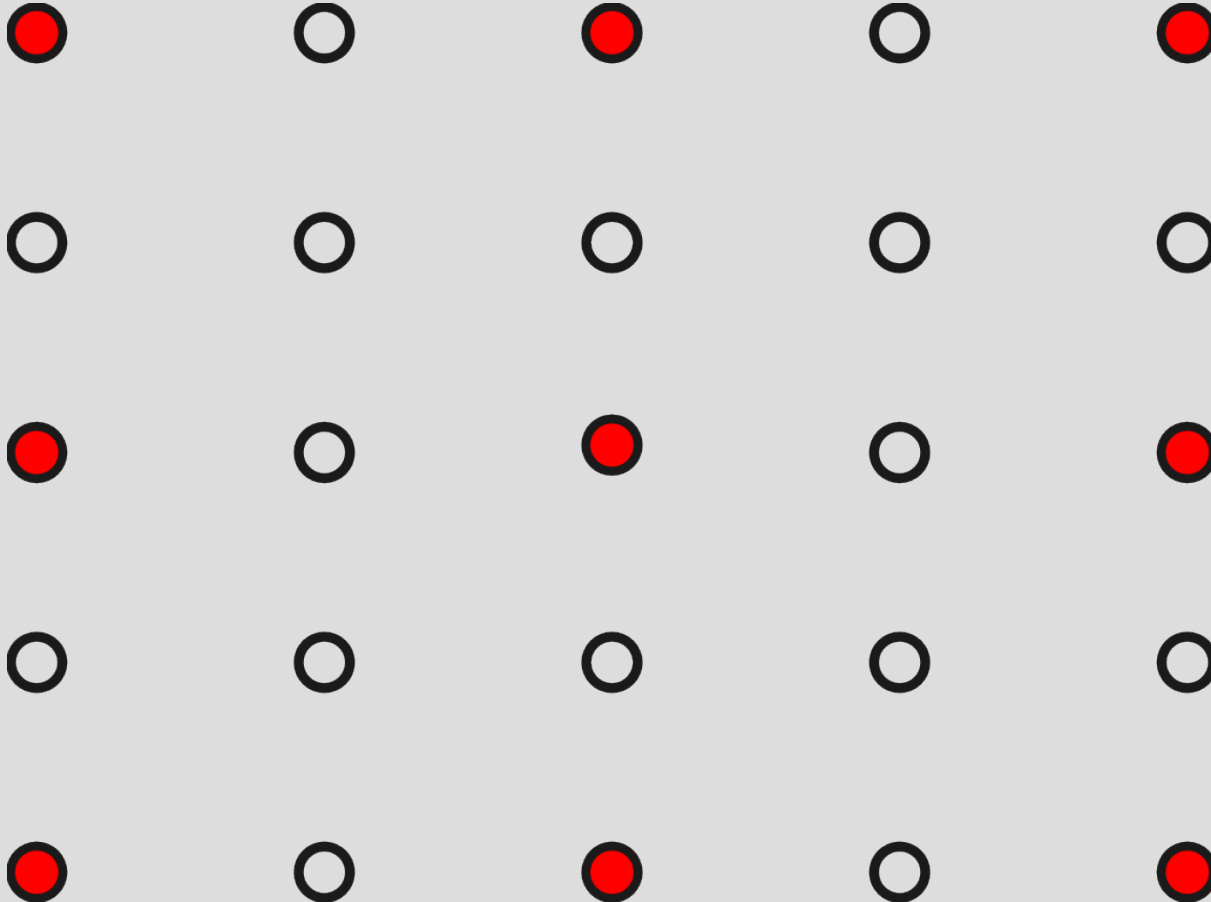
Separar os dados



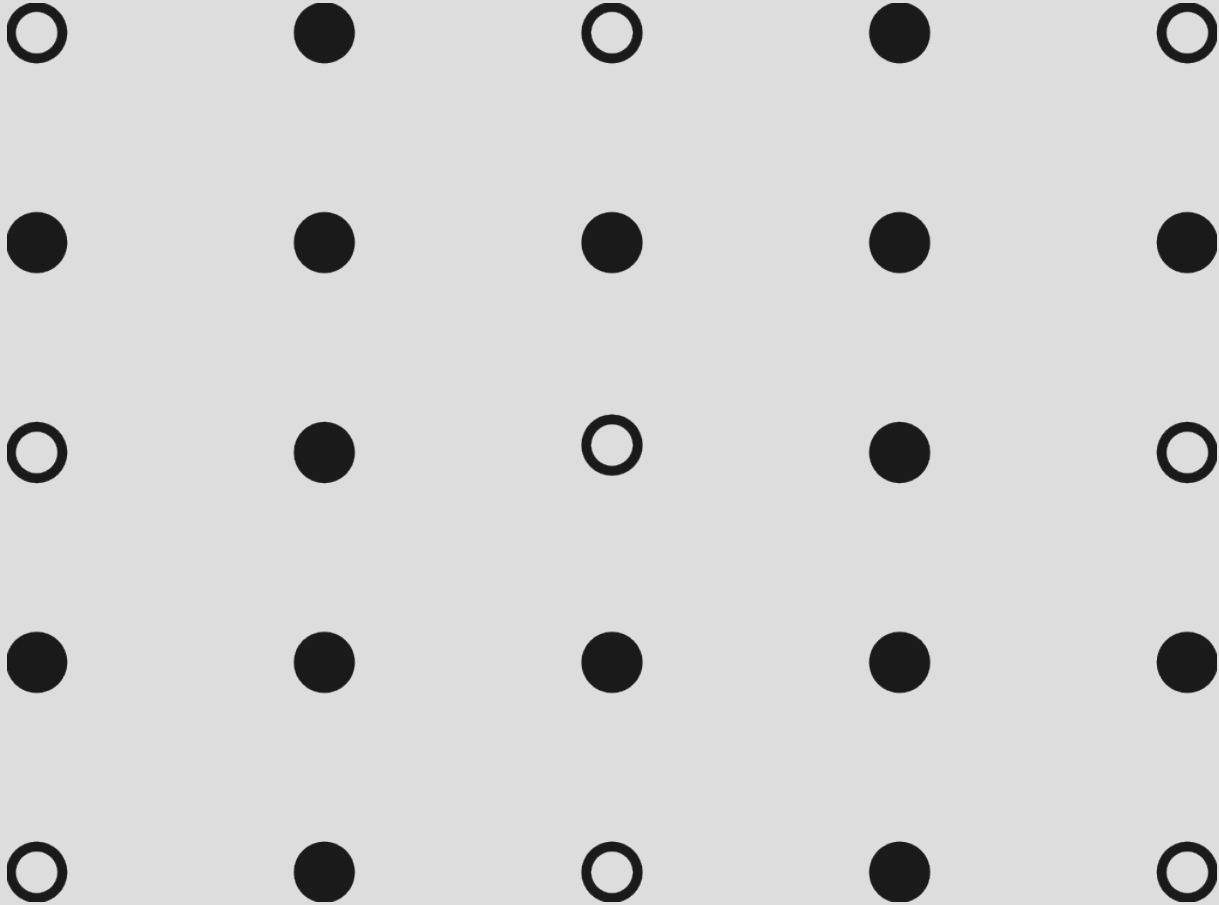
dados completos



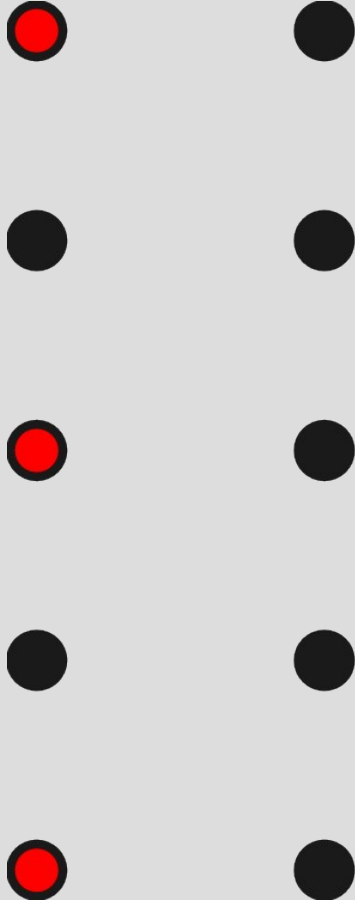
dado inversão



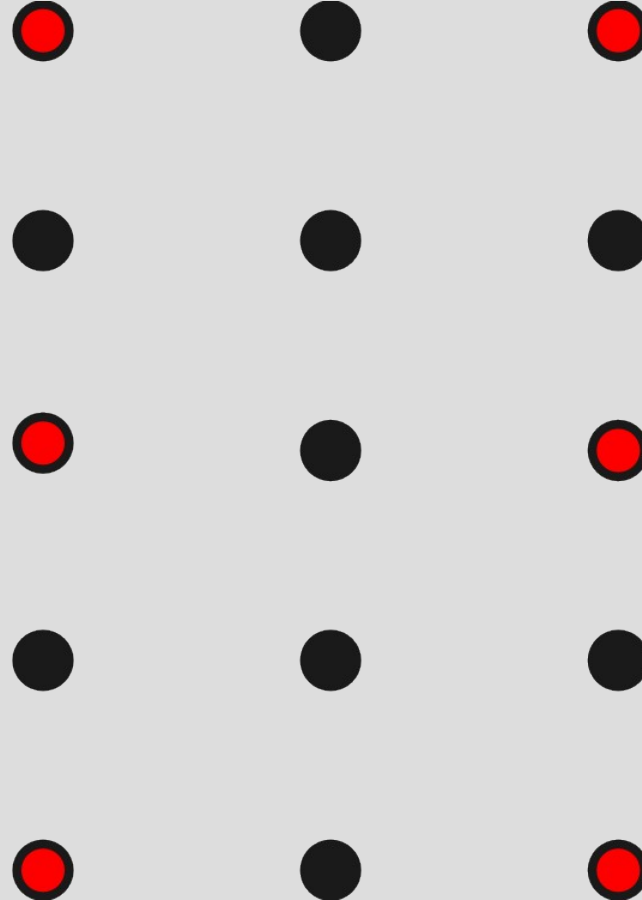
dados teste



dados teste



dados inversão



validação

μ

cruzada

$\Delta \rho$

h_{ref}

vínculos da sísmica

estimativas
pontuais

$$\bar{h}_s^o$$

para $\Delta \rho_i$ e $h_{ref,i}$

para $\Delta \rho_i$ e $h_{ref,i}$

inversão: $\bar{d}_{inv}^o \rightarrow \hat{p}_i$

para $\Delta \rho_i$ e $h_{ref,i}$

inversão: $\bar{d}_{inv}^o \rightarrow \hat{p}_i$

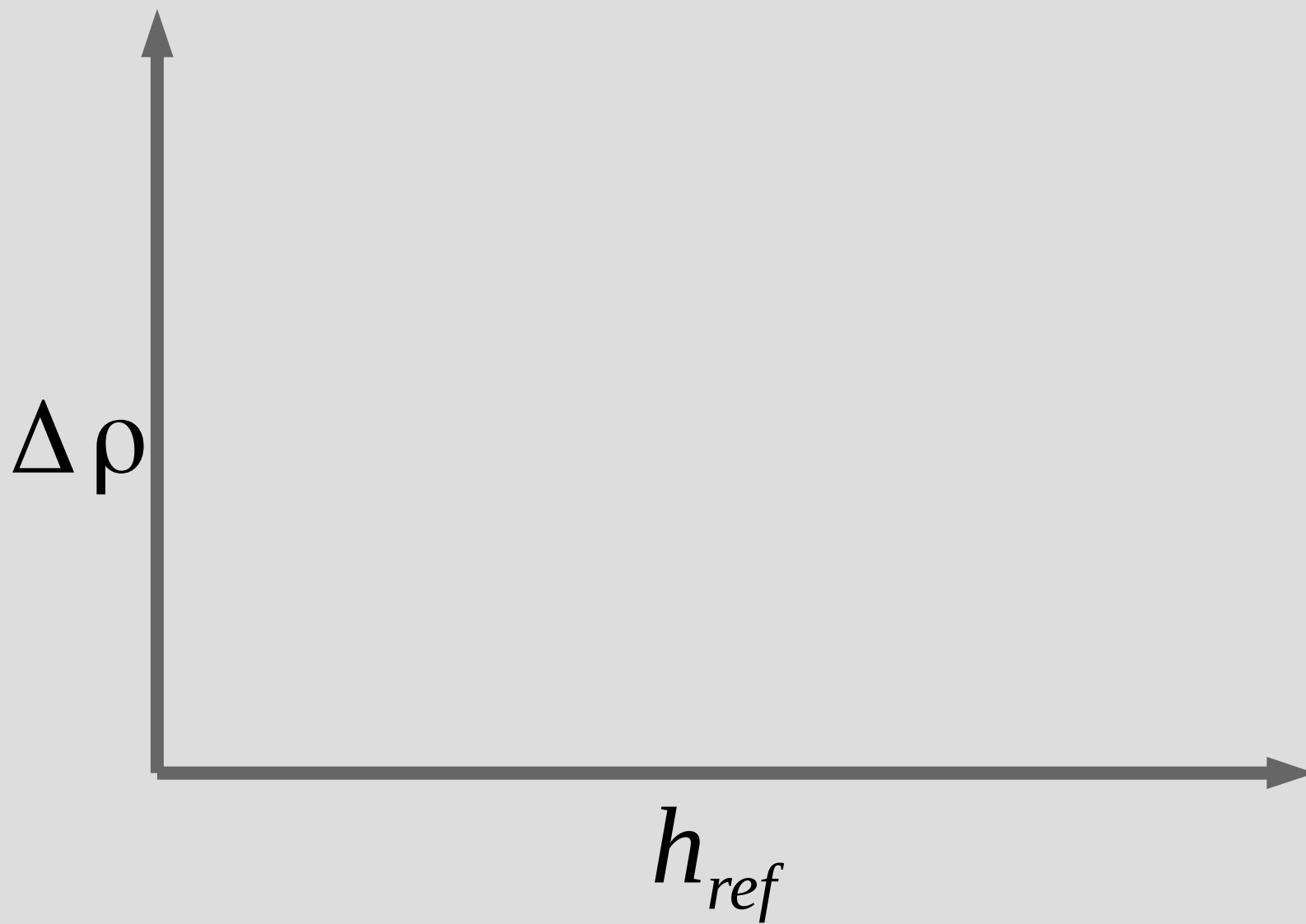
$\hat{p}_i \rightarrow$ interpolar \bar{h}_s

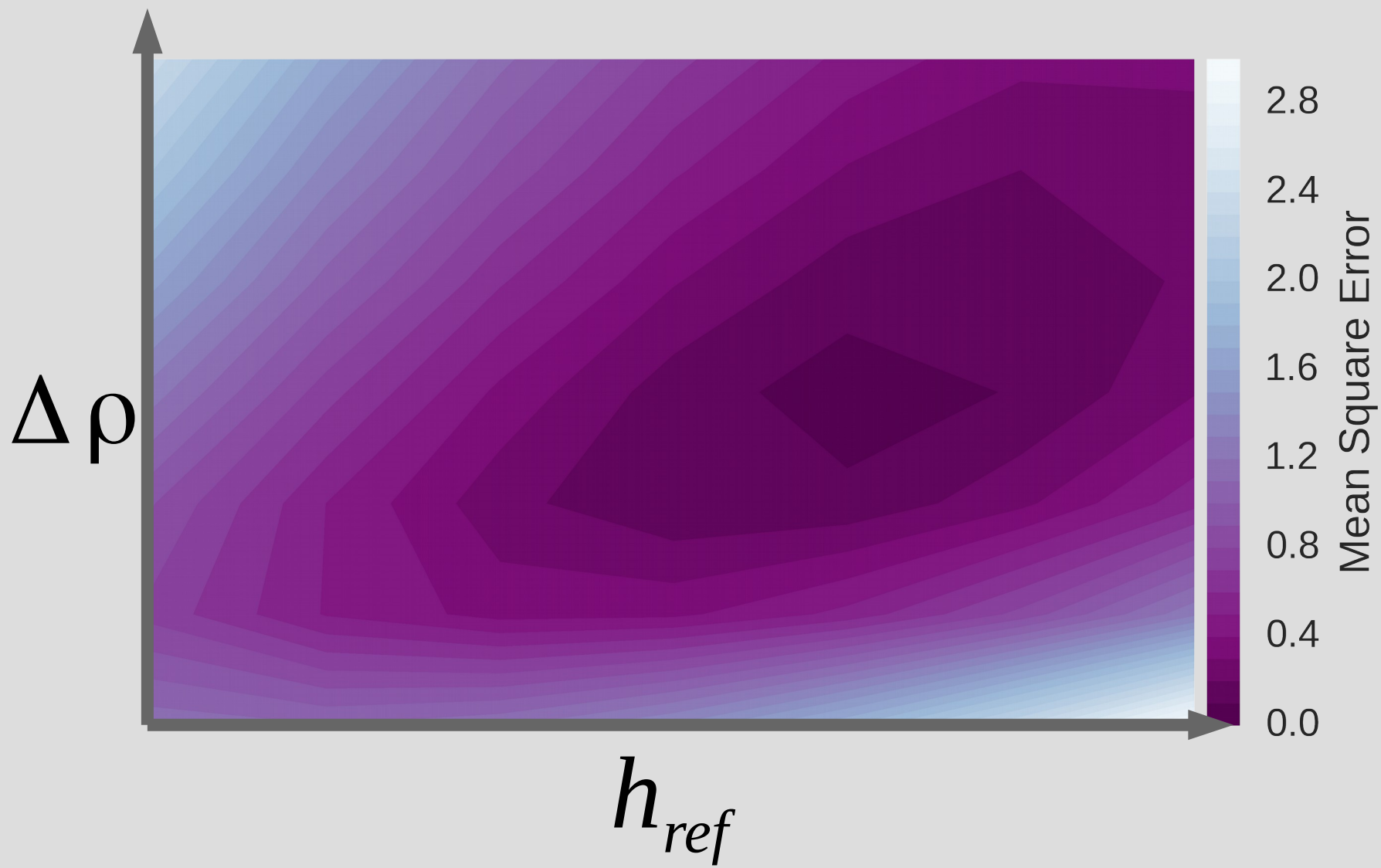
para $\Delta \rho_i$ e $h_{ref,i}$

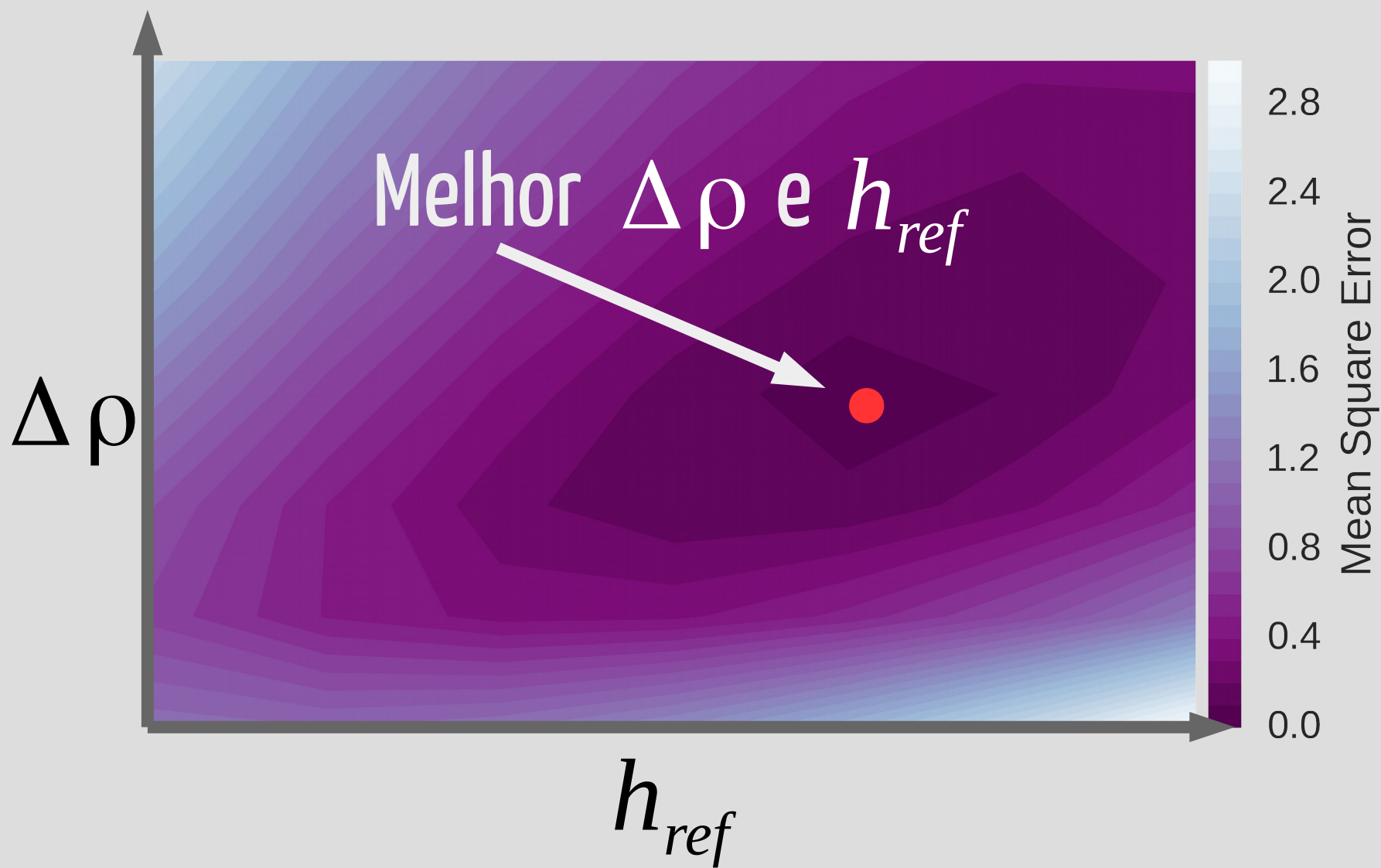
inversão: $\bar{d}_{inv}^o \rightarrow \hat{\bar{p}}_i$

$\hat{\bar{p}}_i \rightarrow$ interpolar \bar{h}_s

$$MSE = \frac{\|\bar{h}_s^o - \bar{h}_s\|^2}{N_{test}}$$

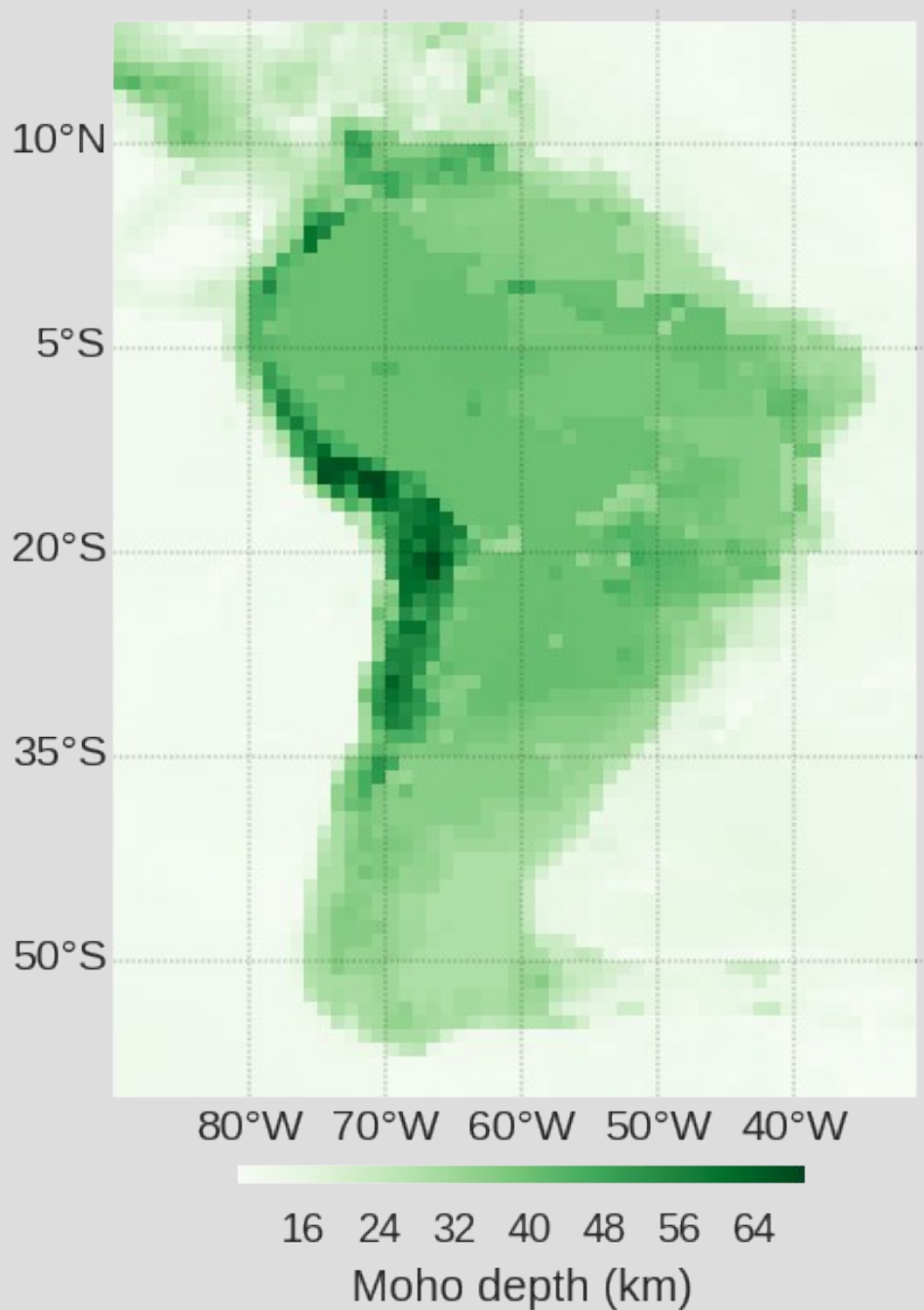




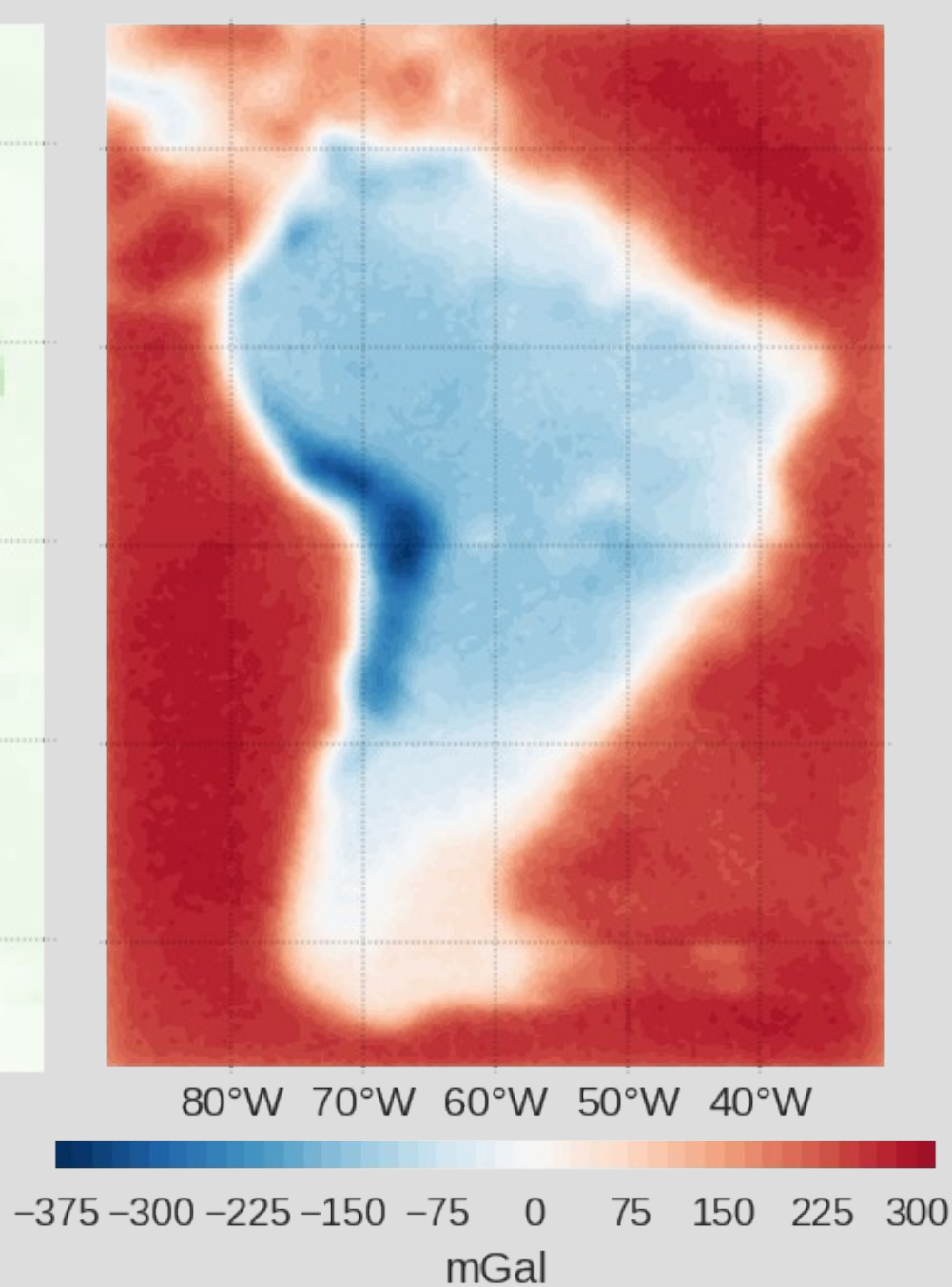
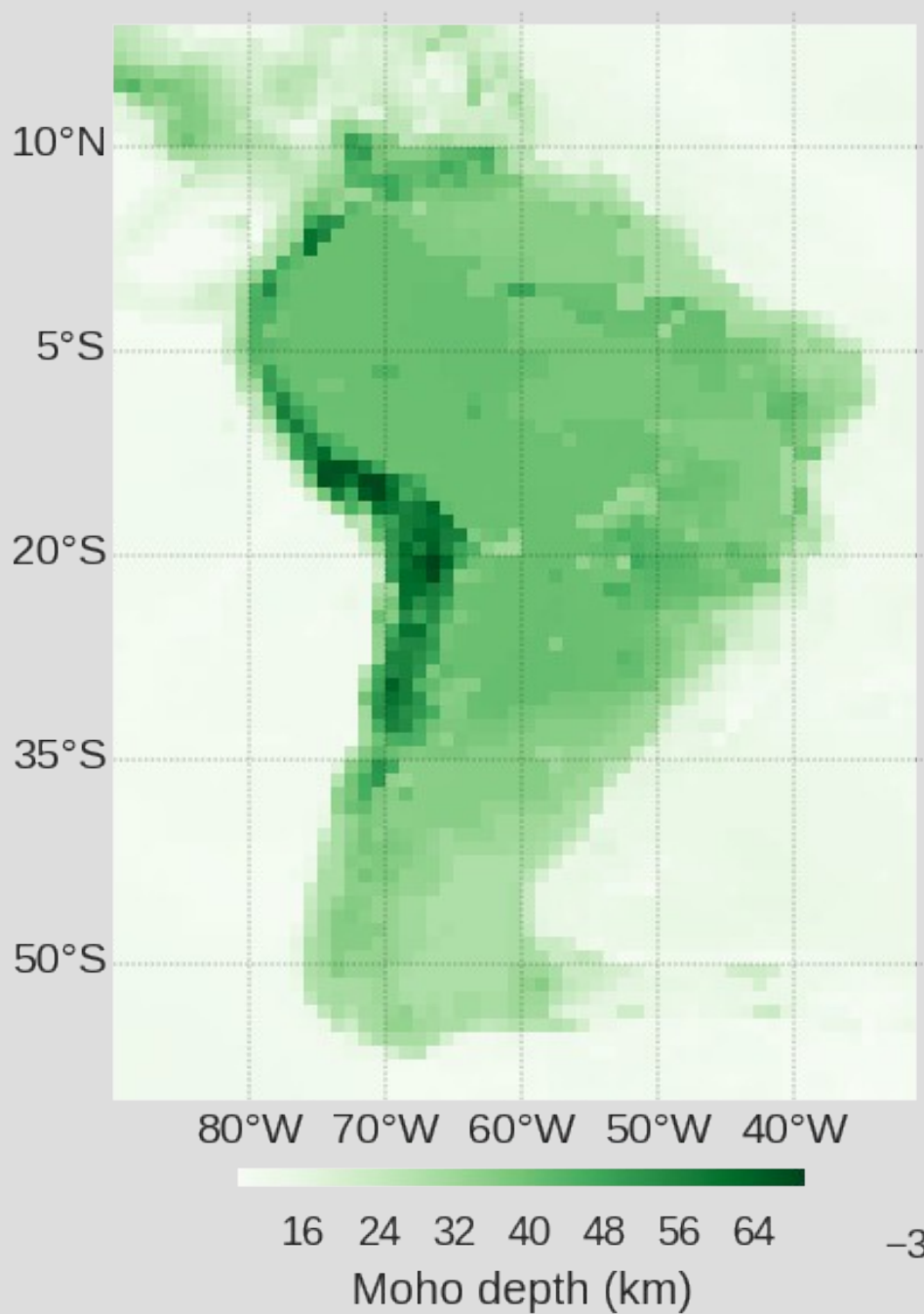


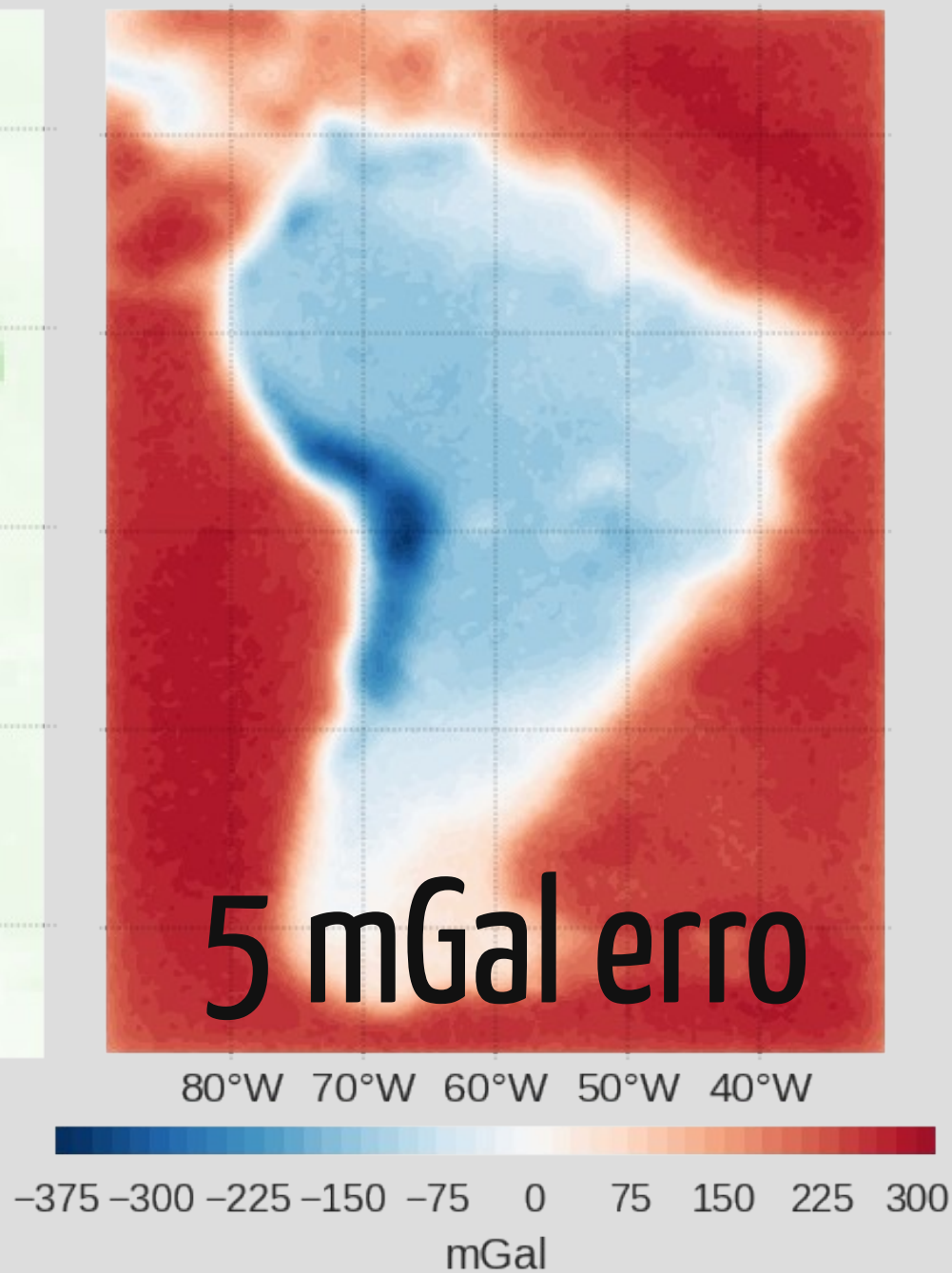
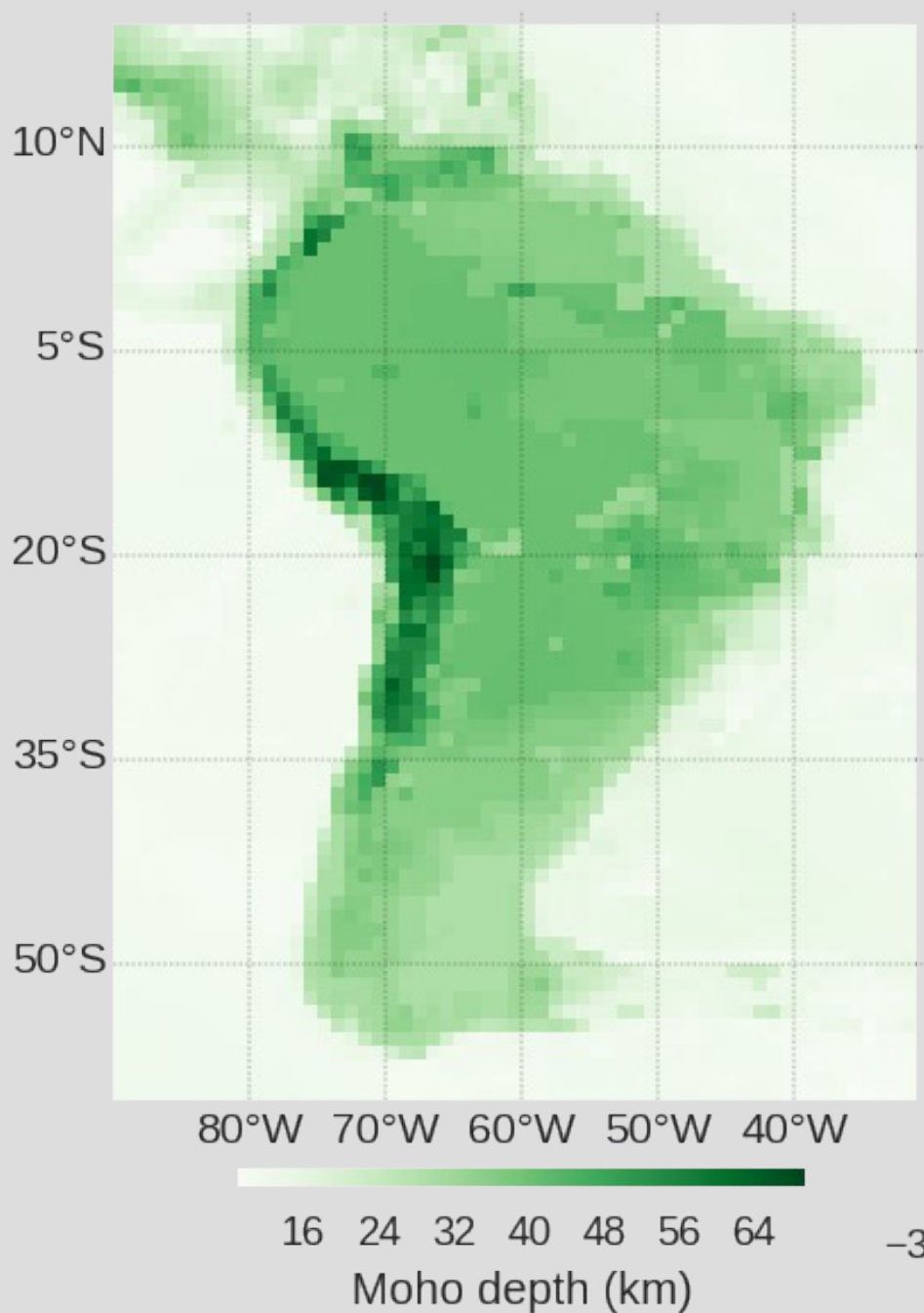
Resultados

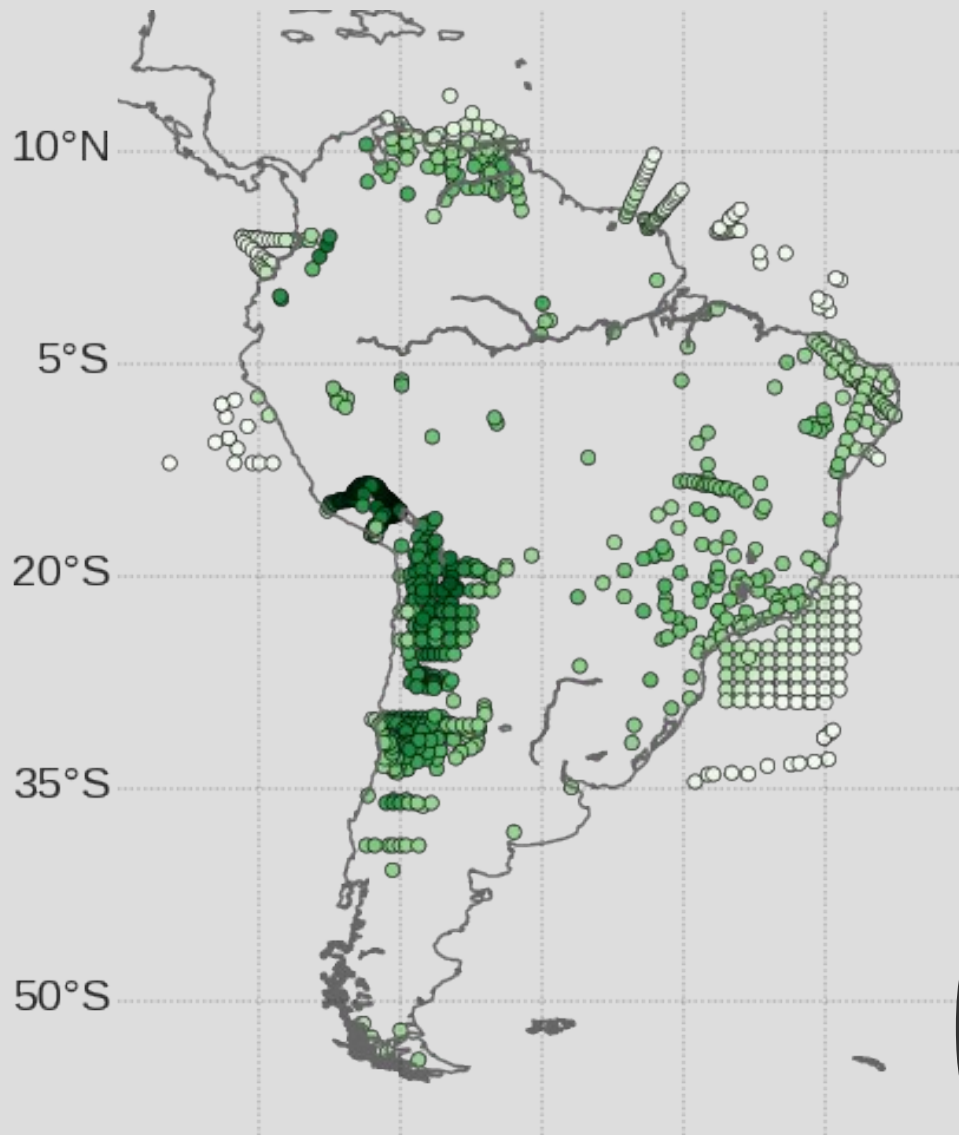
sintético



Moho
CRUST1.0







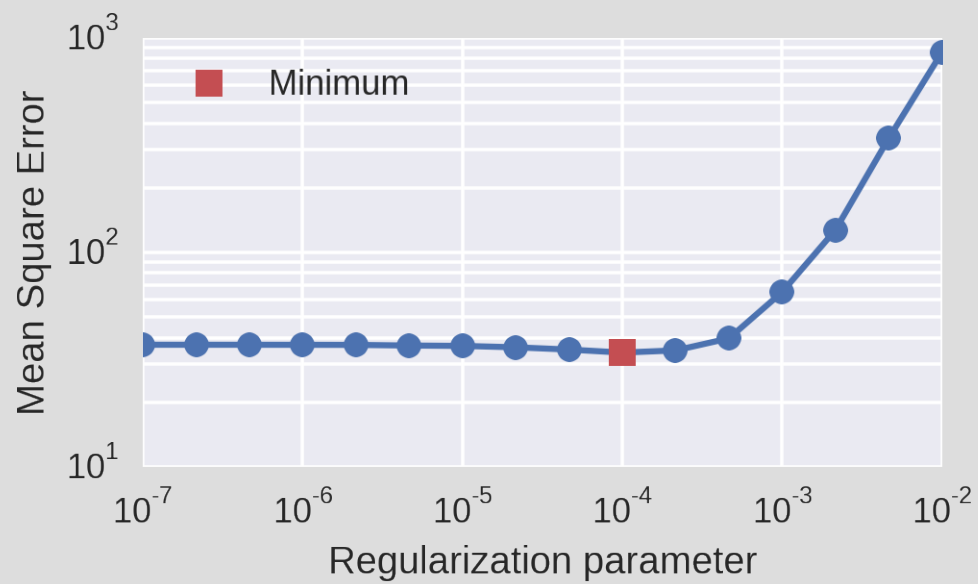
80°W 70°W 60°W 50°W 40°W

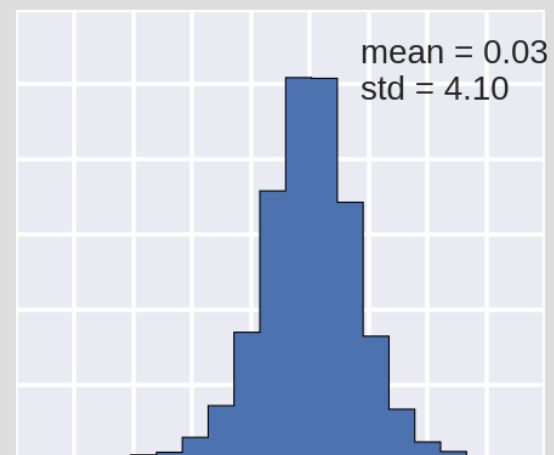
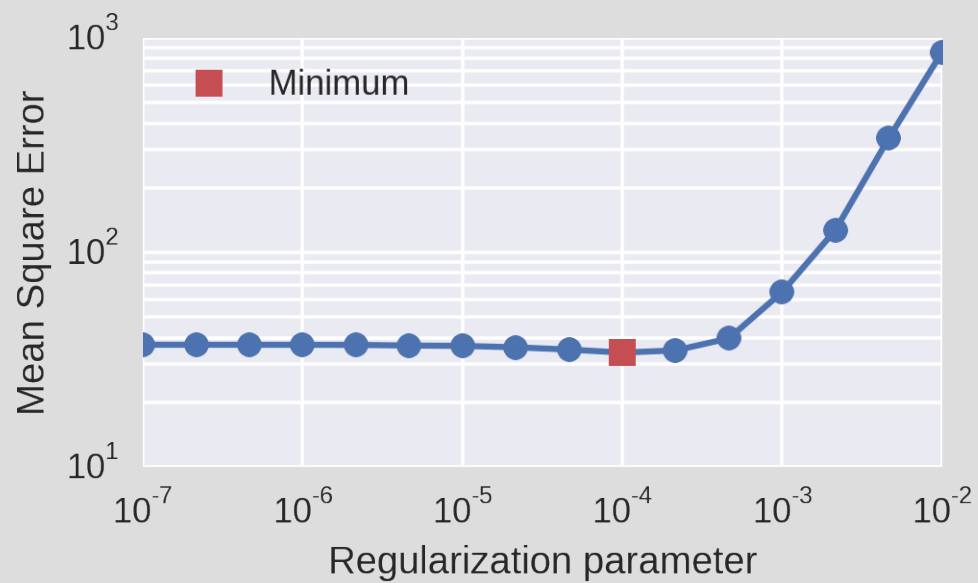


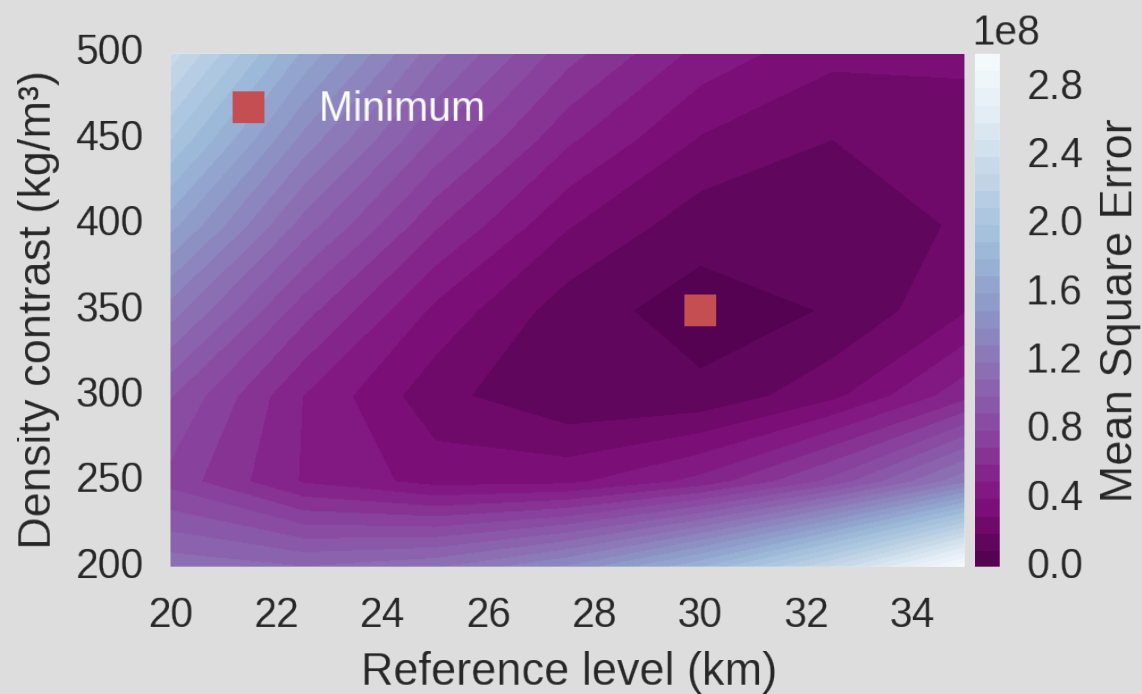
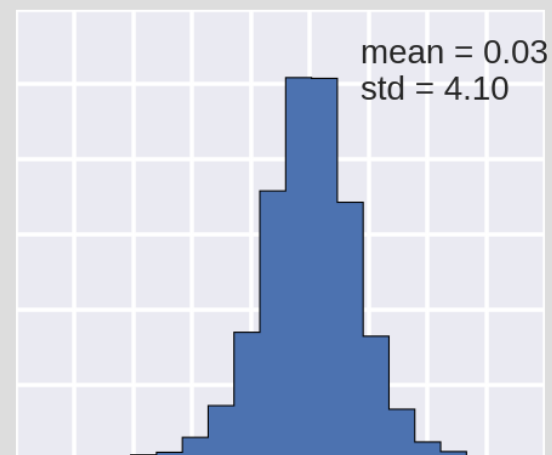
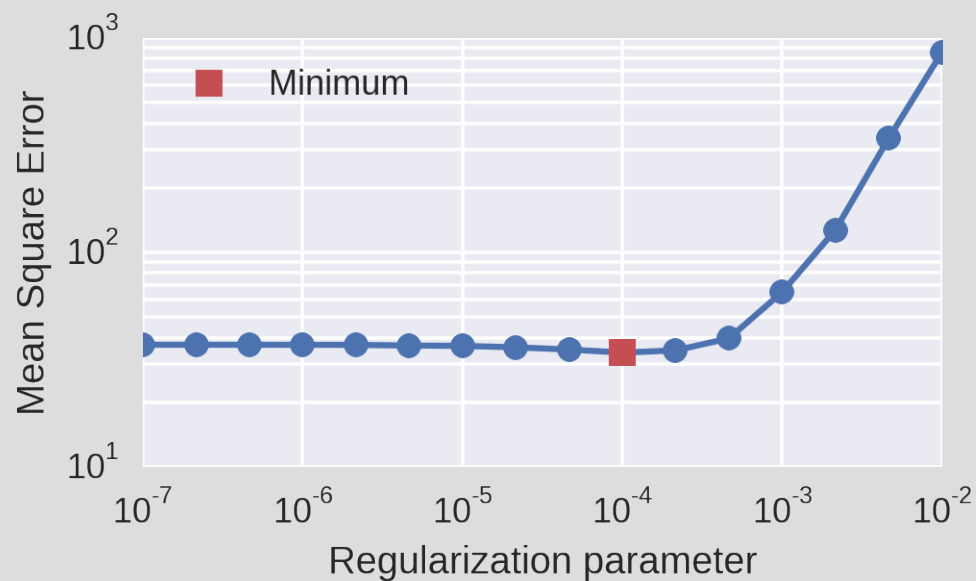
16 24 32 40 48 56 64 72

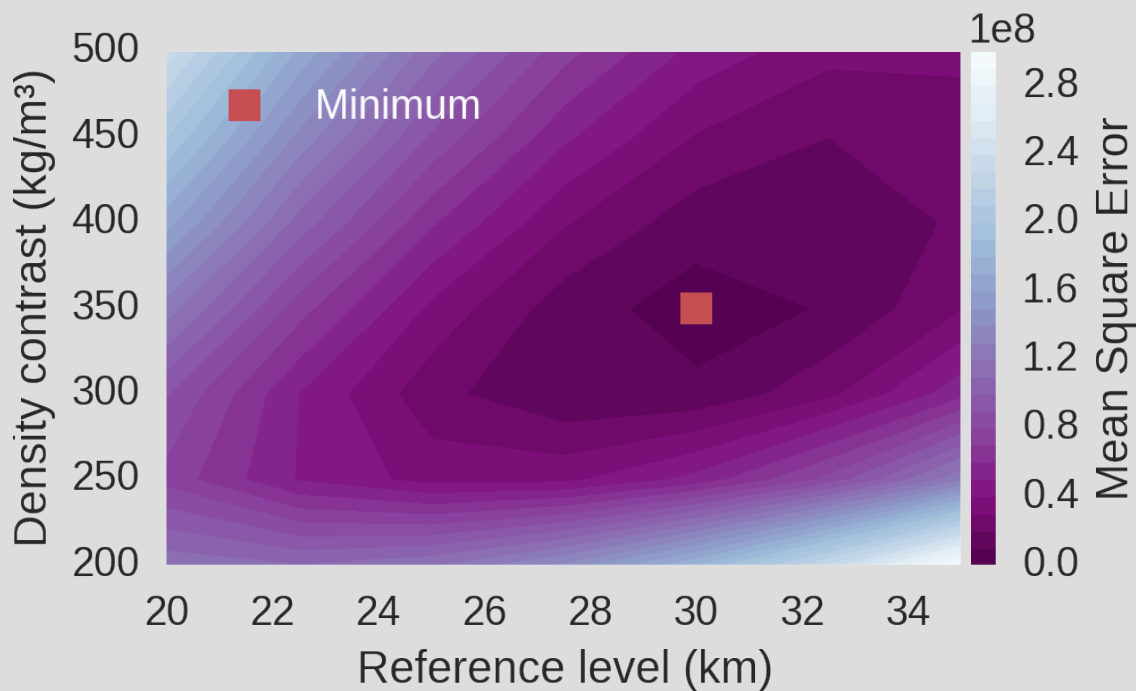
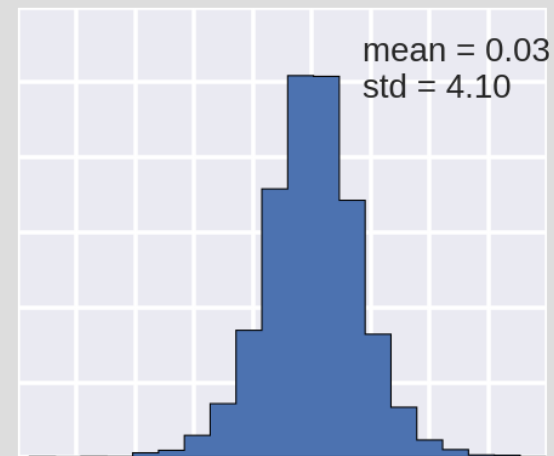
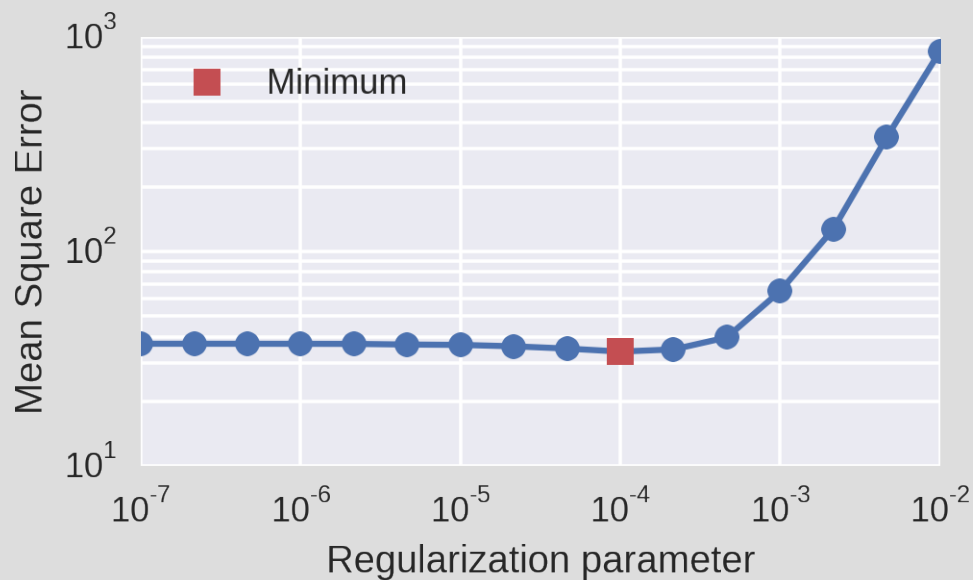
Moho depth (km)

vínculos
sísmicos
CRUST1.0





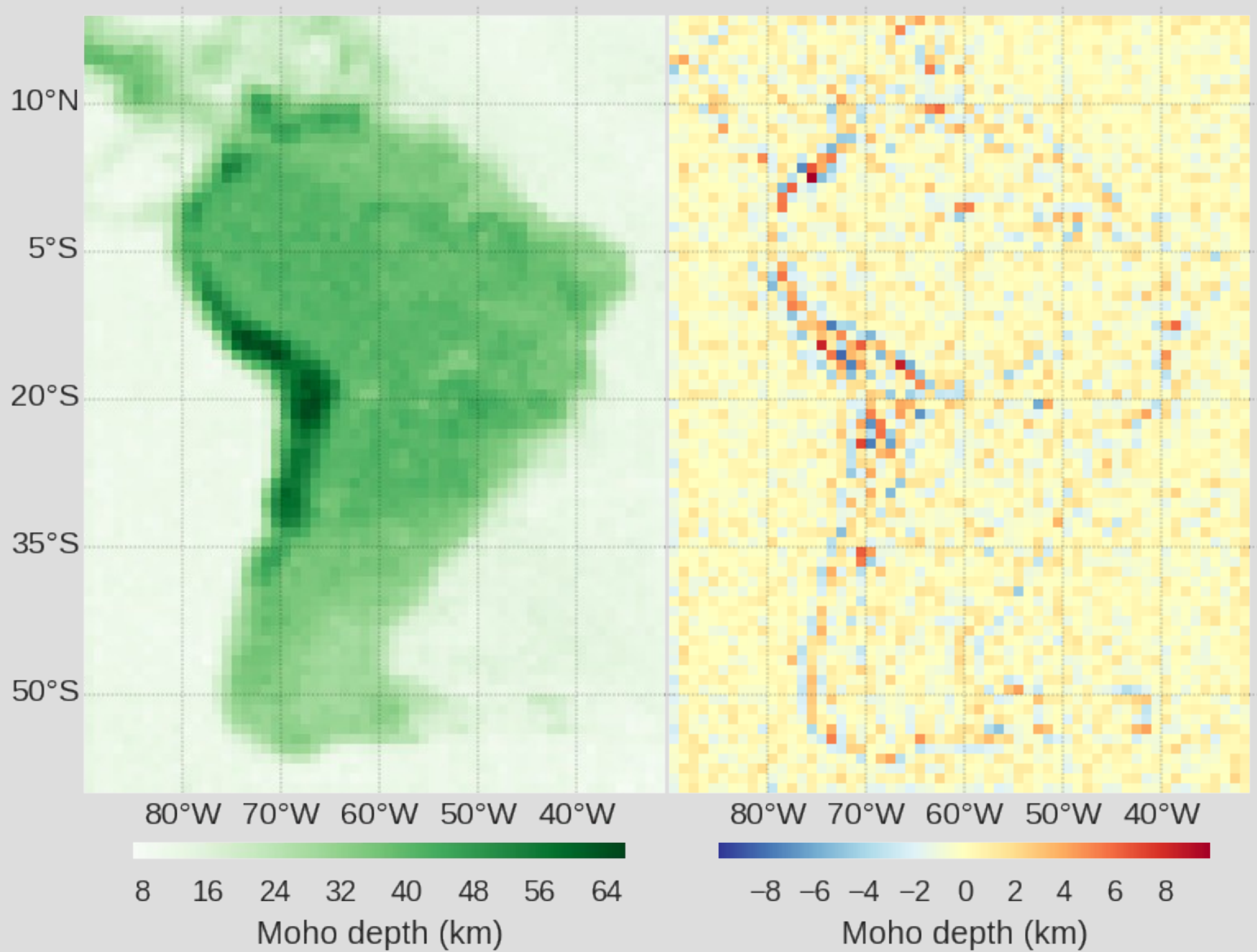




verdadeiros

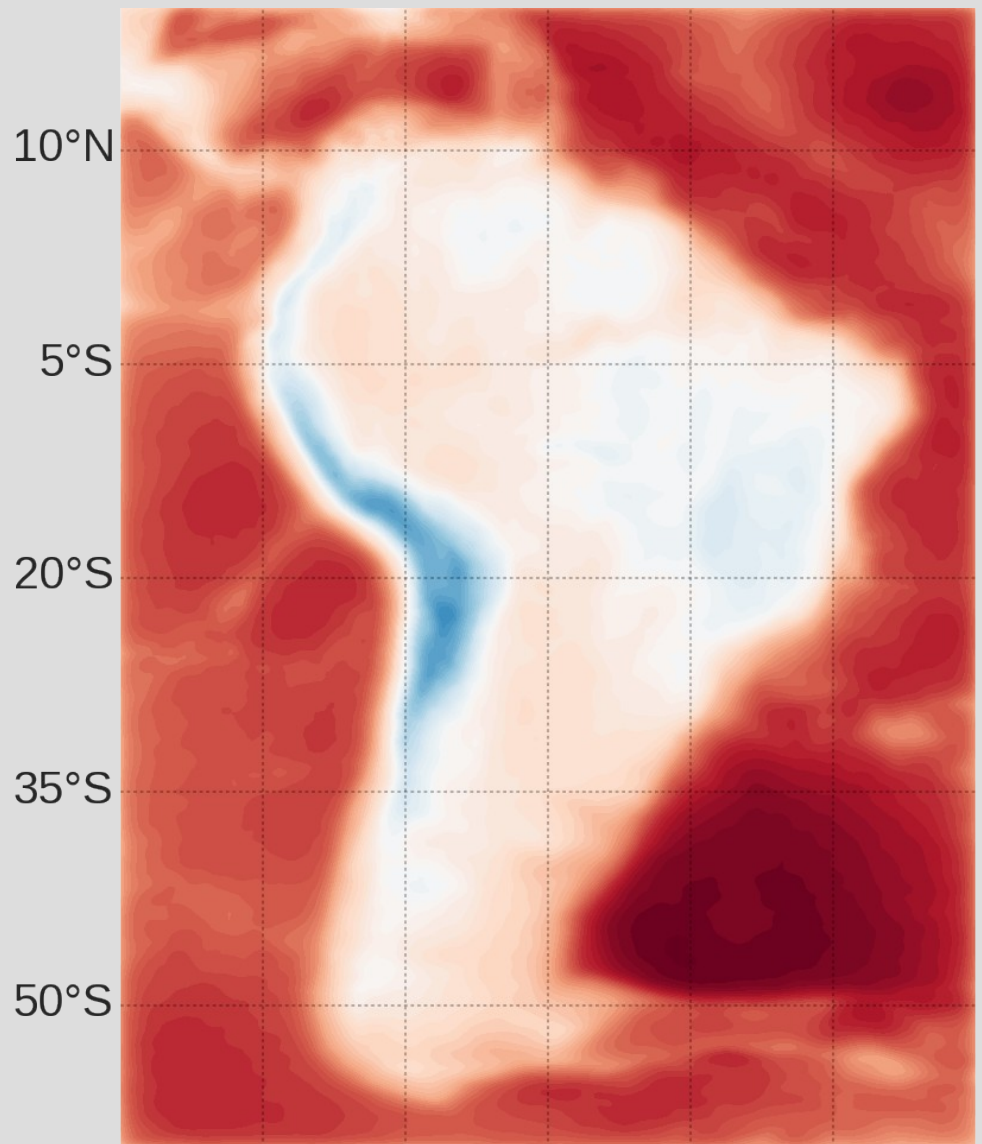
$$\Delta \rho = 350$$

$$h_{ref} = 30$$



Resultados

Am. do Sul

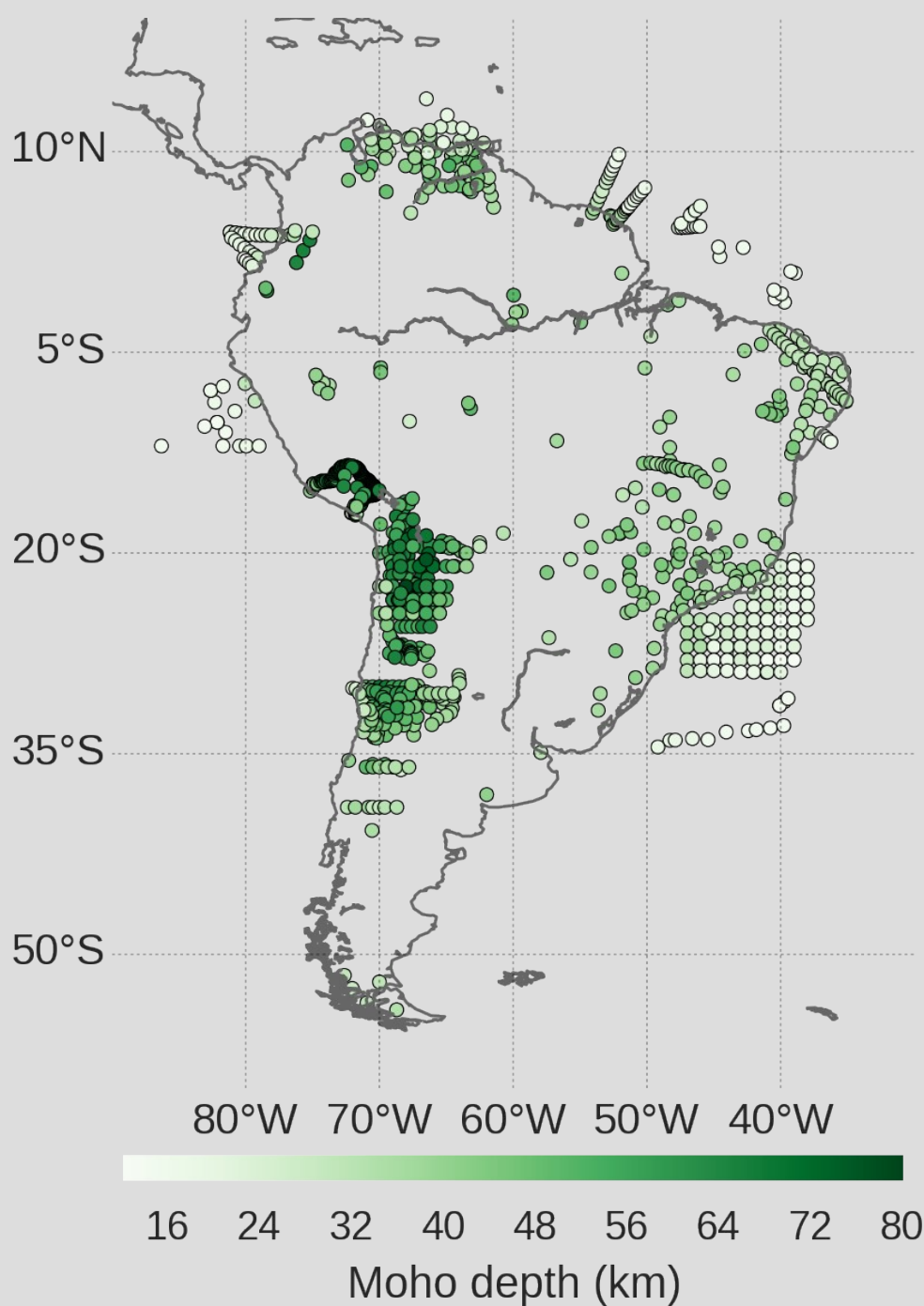


80°W 70°W 60°W 50°W 40°W

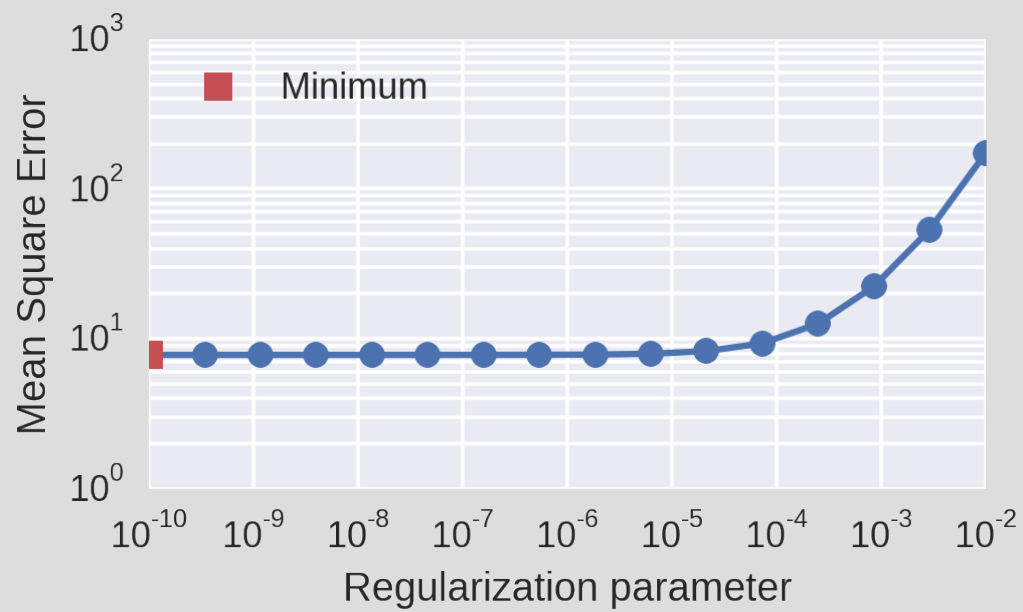
-270 -180 -90 0 90 180 270 360 450

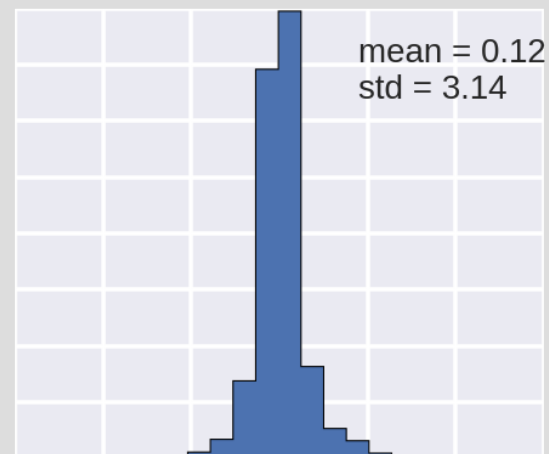
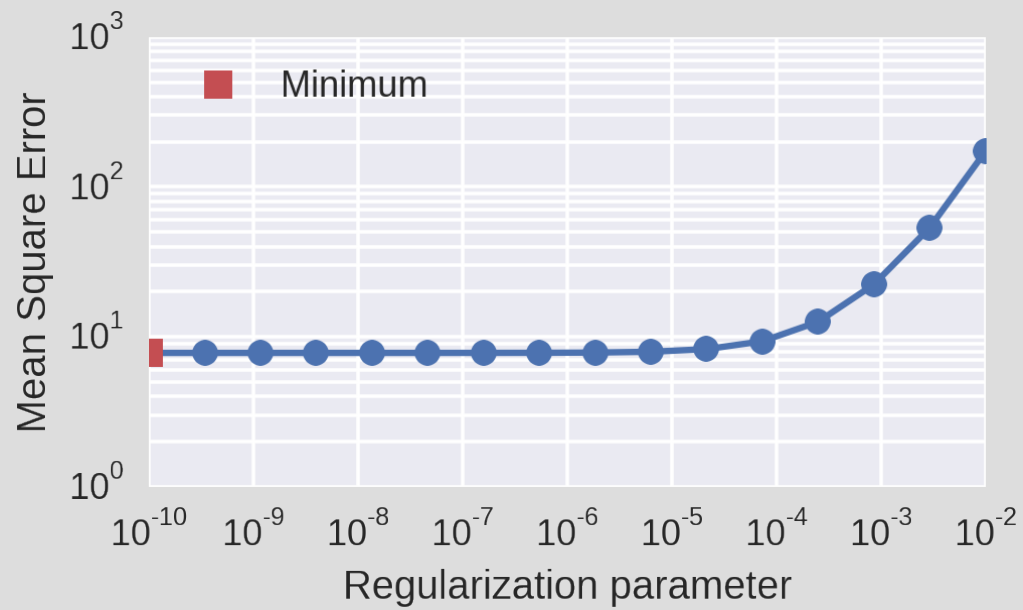
mGal

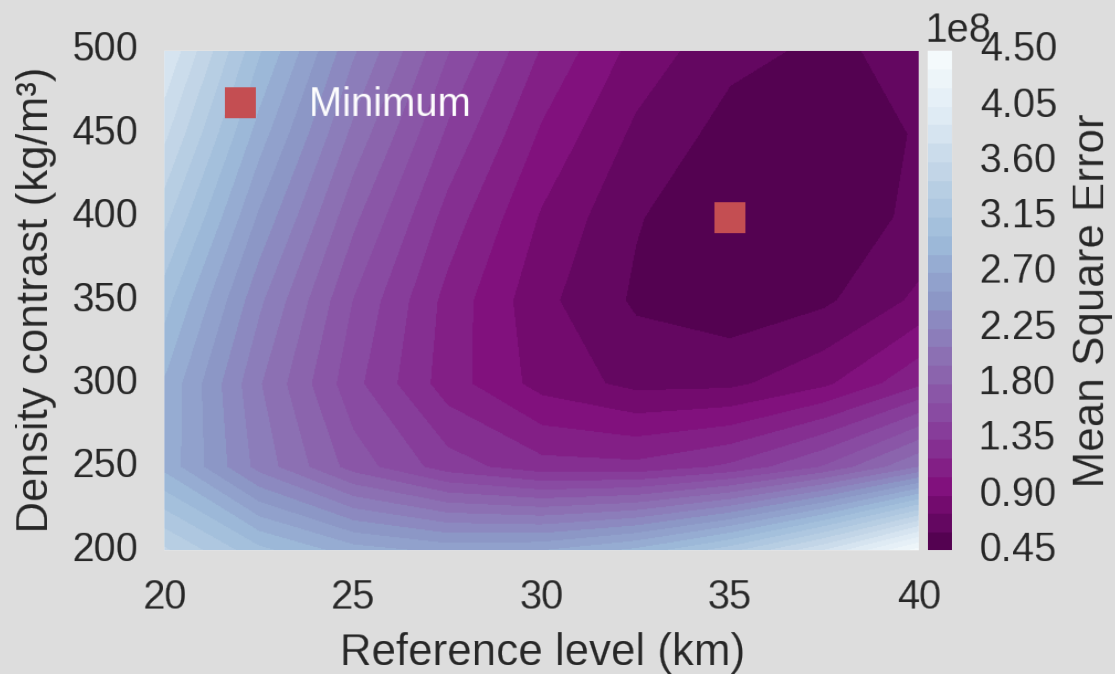
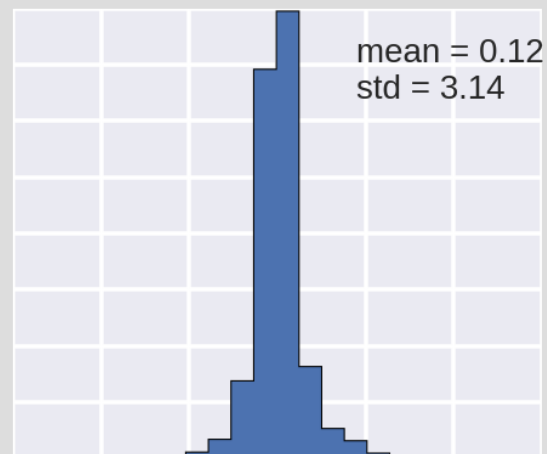
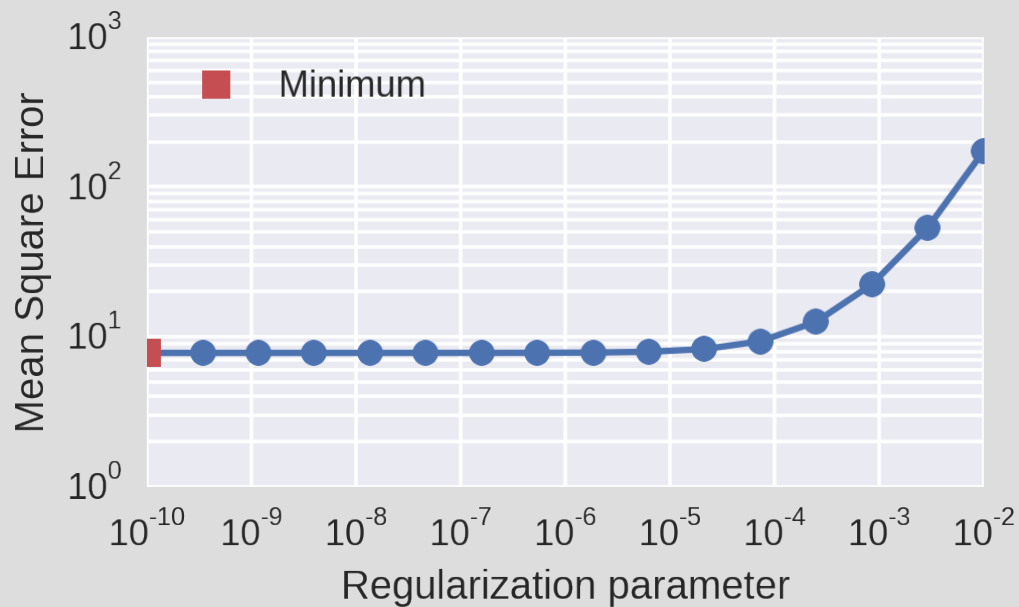
Anomalia
Bouguer
sem
sedimentos

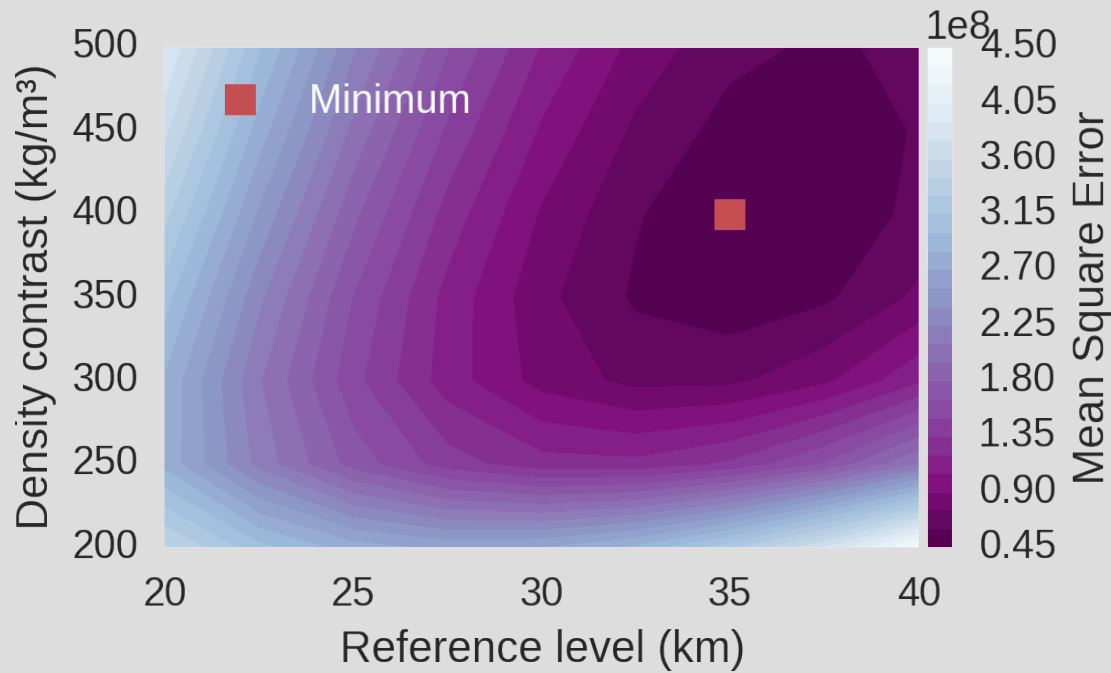
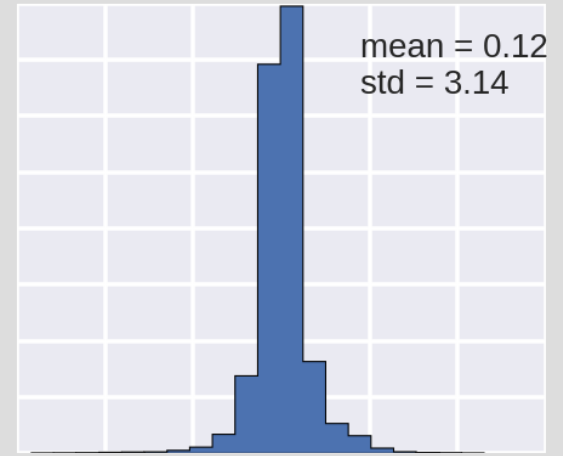
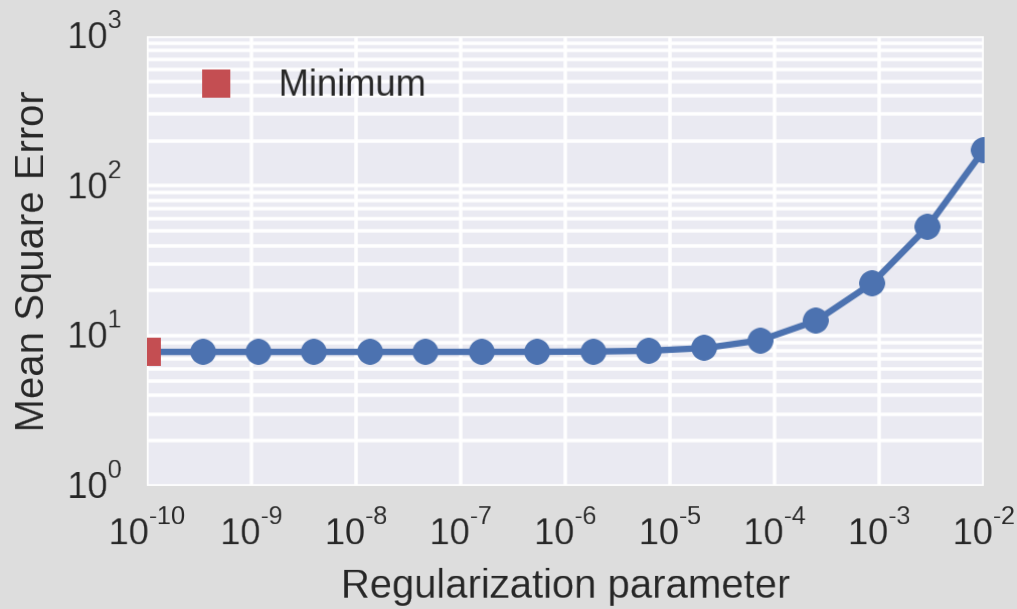


vínculos
sísmica
Assumpção
et al. (2012)





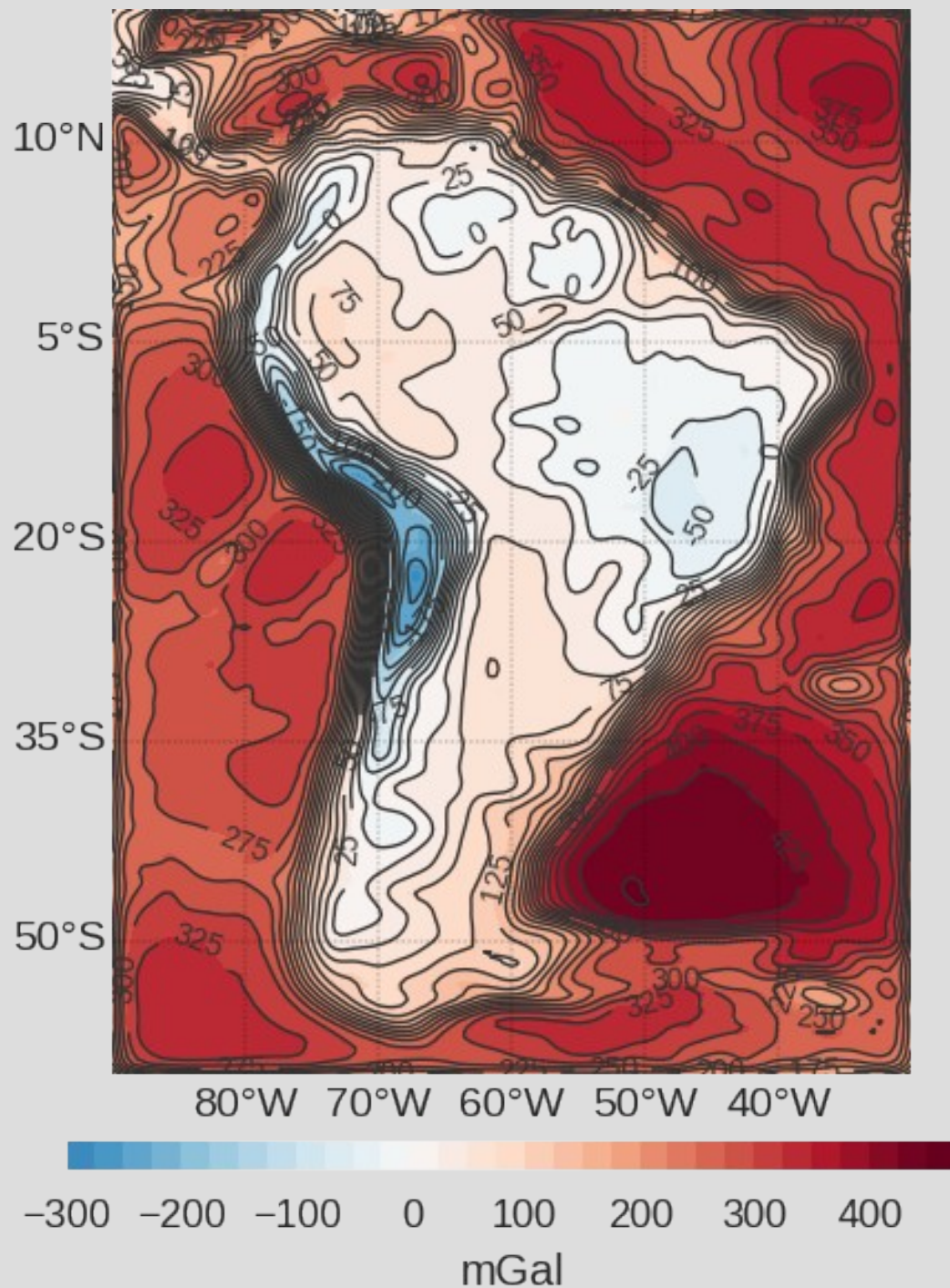




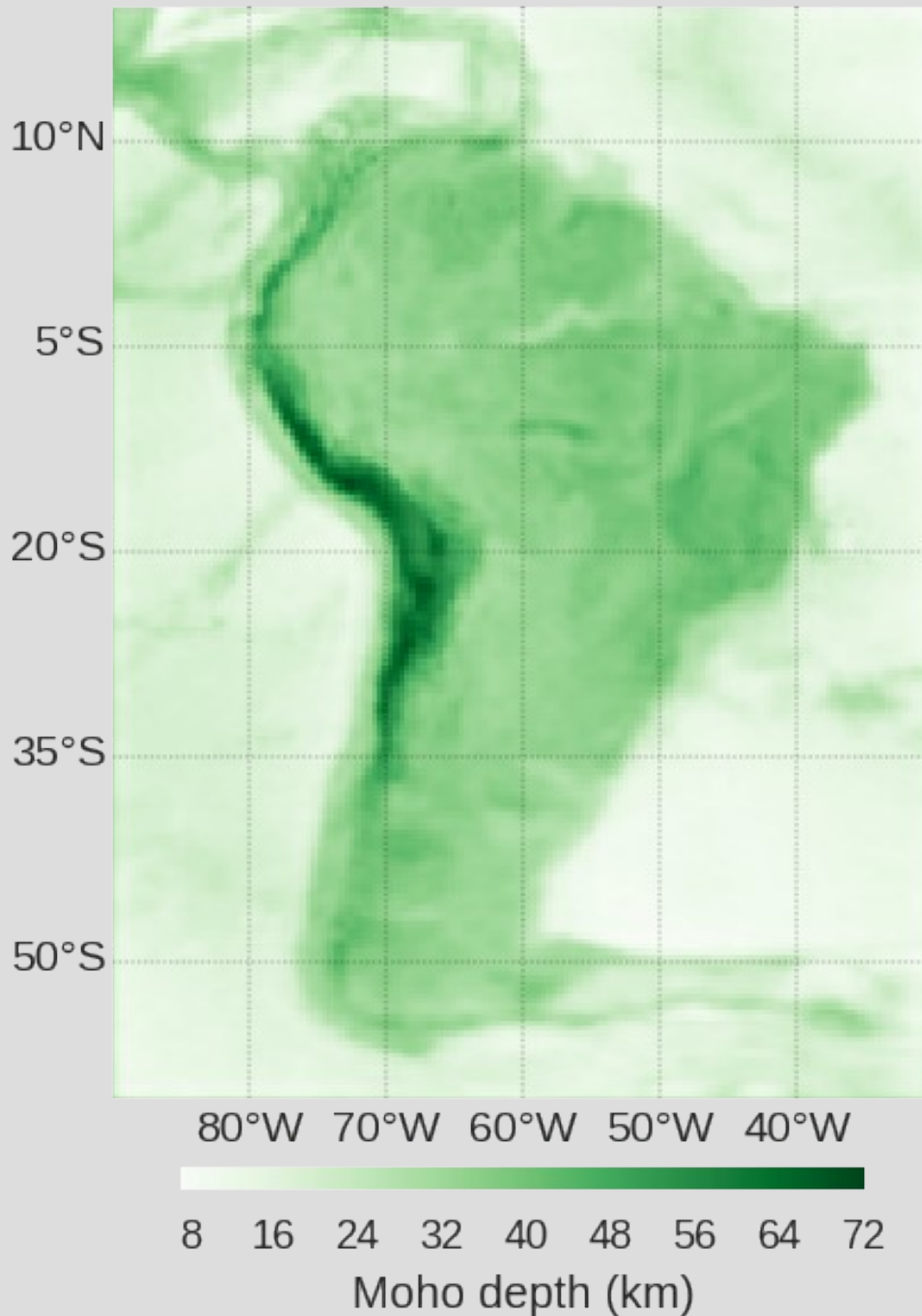
estimados

$$\Delta \rho = 400$$

$$h_{ref} = 35$$

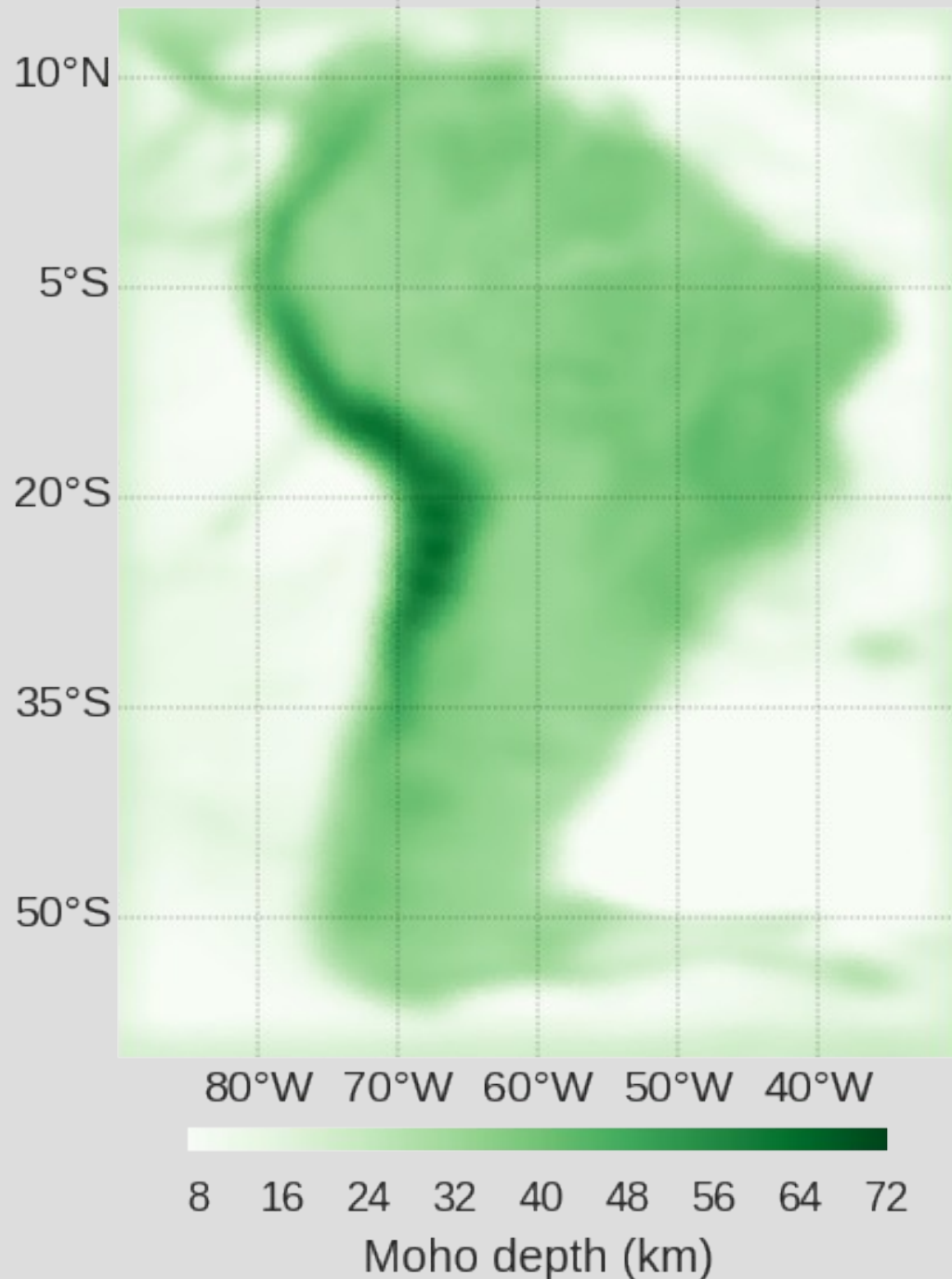


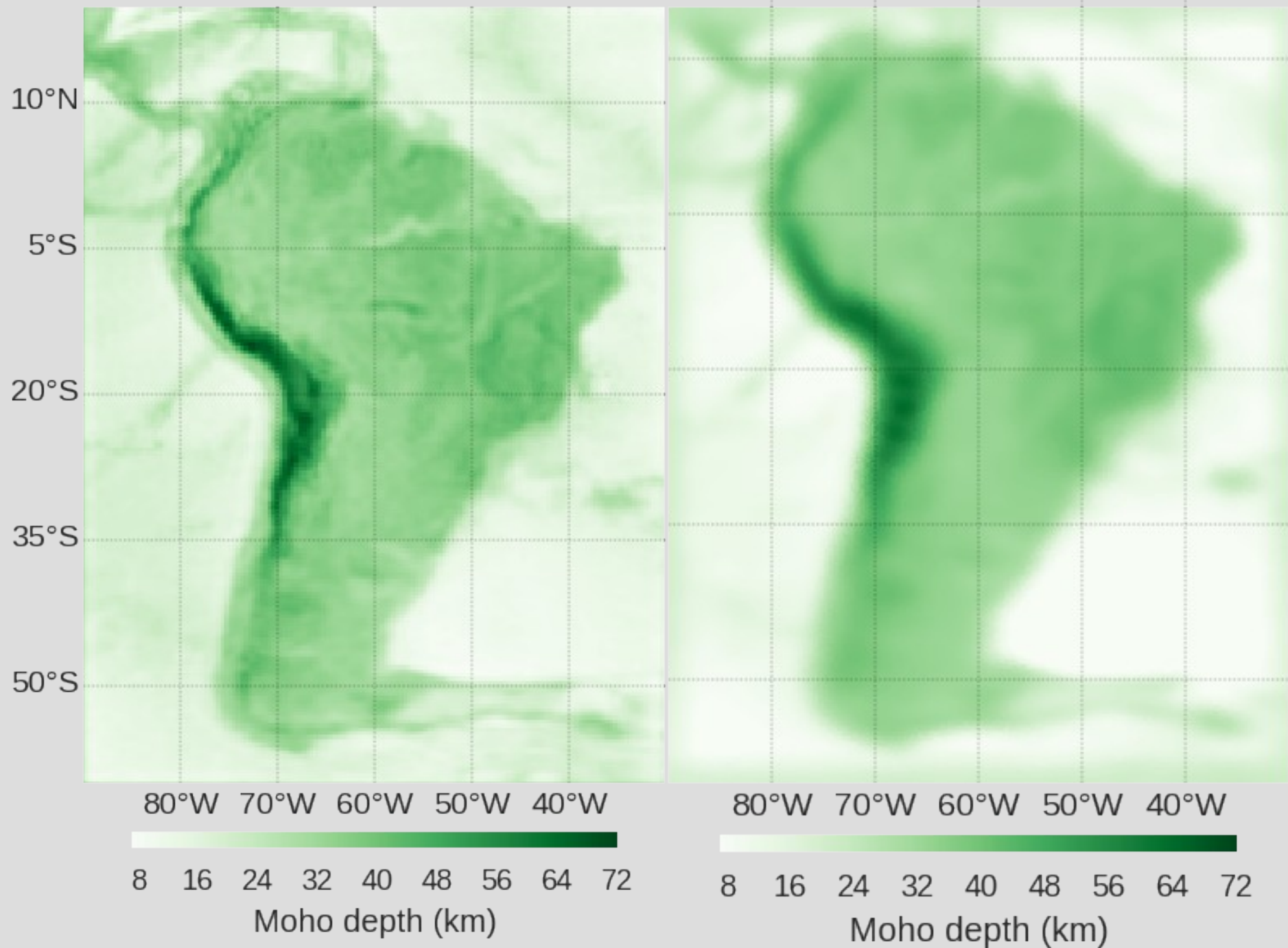
Contorno:
Predito
Cor:
observado

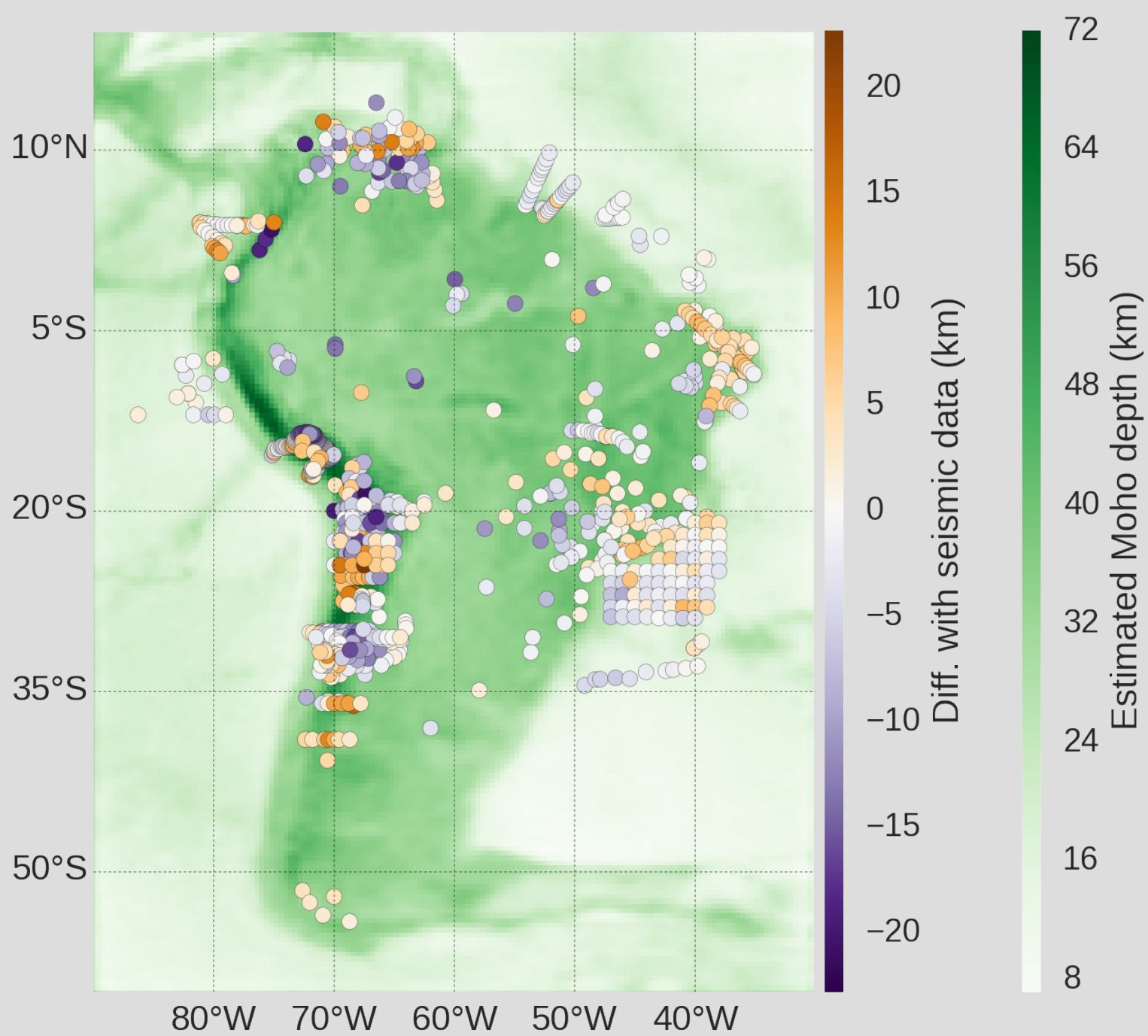


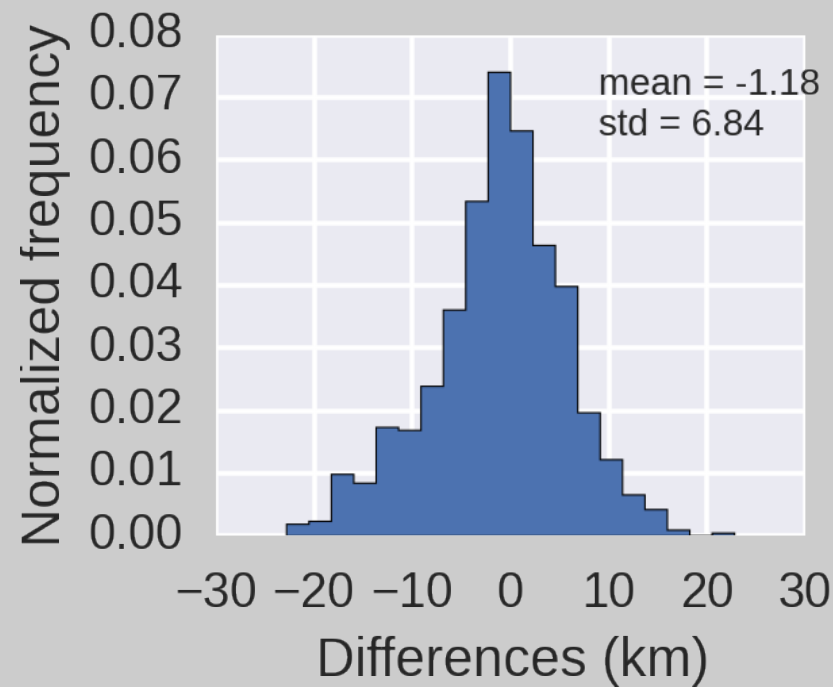
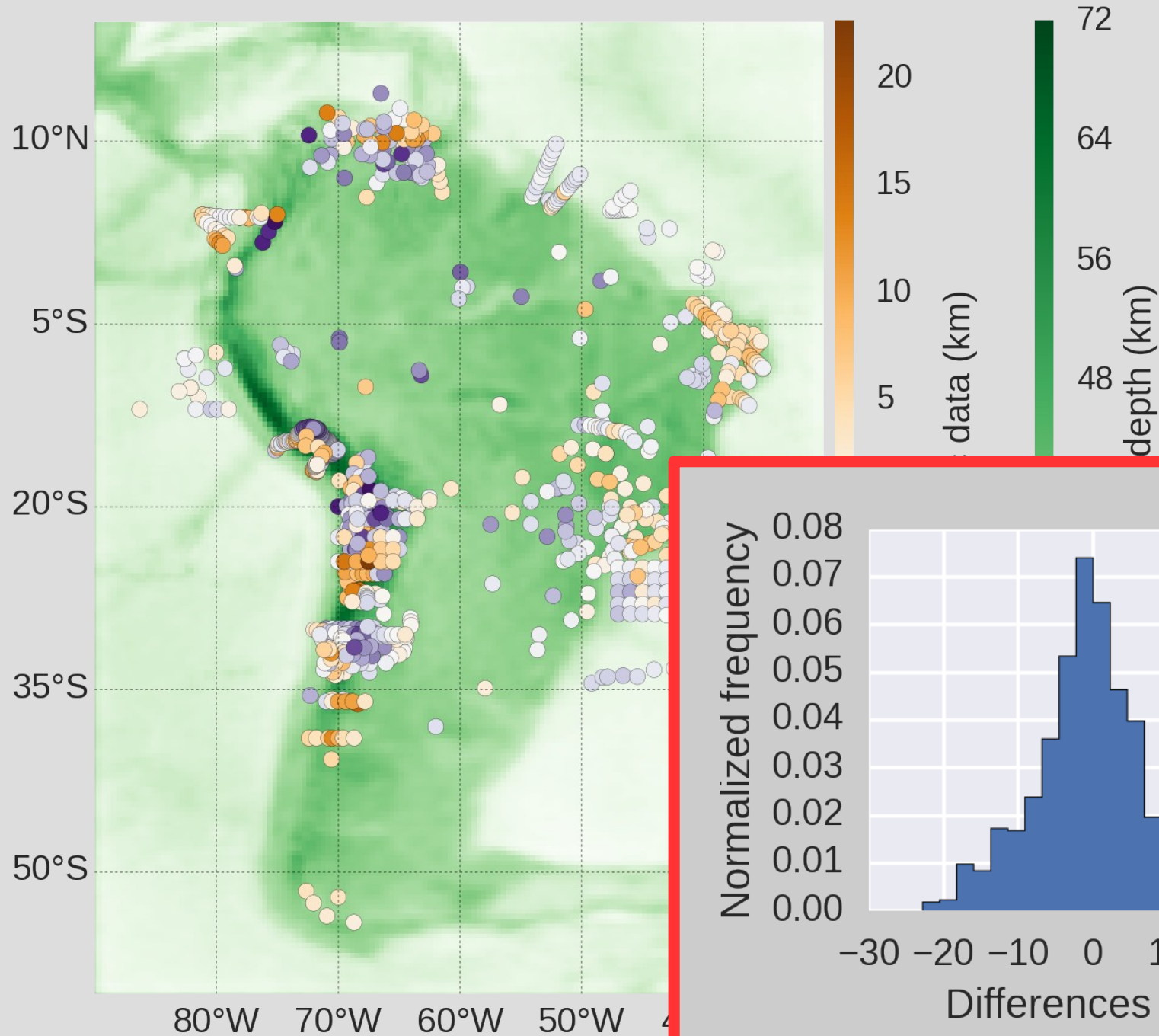
estimativa
da Moho

solução anterior van der Meijde et al. (2013)









Conclusões

Novo método

Baseado em Bott (1960) e Silva et al. (2014)

Novo método

Baseado em Bott (1960) e Silva et al. (2014)

Tesseroides

Novo método

Baseado em Bott (1960) e Silva et al. (2014)

Tesseroides

Gauss-Newton + Regularização

Novo método

Baseado em Bott (1960) e Silva et al. (2014)

Tesseroides

Gauss-Newton + Regularização

Matrizes esparsas

Novo método

Baseado em Bott (1960) e Silva et al. (2014)

Tesseroides

Gauss-Newton + Regularização

Matrizes esparsas

Validação cruzada $\longrightarrow \mu \quad \Delta \rho \quad h_{\text{ref}}$

Moho América do Sul

Compatível com van der Meijde et al. (2013)

Moho América do Sul

Compatível com van der Meijde et al. (2013)

Correções (topo e sedimentos) mais apropriadas

Moho América do Sul

Compatível com van der Meijde et al. (2013)

Correções (topo e sedimentos) mais apropriadas

~6 km stddev com sísmica

Moho América do Sul

Compatível com van der Meijde et al. (2013)

Correções (topo e sedimentos) mais apropriadas

~6 km stddev com sísmica

Diferença grande concentrada nos Andes

Moho América do Sul

Compatível com van der Meijde et al. (2013)

Correções (topo e sedimentos) mais apropriadas

~6 km stddev com sísmica

Diferença grande concentrada nos Andes

Resolução maior pode ser falsa

Moho América do Sul

Compatível com van der Meijde et al. (2013)

Correções (topo e sedimentos) mais apropriadas

~6 km stddev com sísmica

Diferença grande concentrada nos Andes

Resolução maior pode ser falsa

Depende de correções corretas

Atividades 2014-2015

artigos

Geophysics | (submetido)

“Tesseroids: forward modeling of gravitational fields in spherical coordinates”

Journal of Applied Geophysics | (submetido)

“How two gravity-gradient inversion methods can be used to reveal different geologic features of ore deposit - a case study from the Quadrilátero Ferrífero (Brazil)”

Nonlinear Processes in Geophysics | doi:[10.5194/npg-22-215-2015](https://doi.org/10.5194/npg-22-215-2015)

“Estimation of the total magnetization direction of approximately spherical bodies”

artigos 1^o da tese



Geophysics | (submetido)

“Tesseroids: forward modeling of gravitational fields in spherical coordinates”

Journal of Applied Geophysics | (submetido)

“How two gravity-gradient inversion methods can be used to reveal different geologic features of ore deposit - a case study from the Quadrilátero Ferrífero (Brazil)”

Nonlinear Processes in Geophysics | doi:[10.5194/npg-22-215-2015](https://doi.org/10.5194/npg-22-215-2015)

“Estimation of the total magnetization direction of approximately spherical bodies”

Implementação inversão

Testes sintético

Aplicação América do Sul

Escrita 2º artigo

Submissão 2º artigo

Entrega tese

Defesa

Implementação inversão

Testes sintético

Aplicação América do Sul

→ feito

Escrita 2º artigo

Submissão 2º artigo

Entrega tese

Defesa

Implementação inversão

Testes sintético

Aplicação América do Sul

→ feito

Escrita 2º artigo

Submissão 2º artigo

Entrega tese

Defesa

Implementação inversão

Testes sintético

Aplicação América do Sul

→ feito

Escrita 2º artigo

Submissão 2º artigo

Entrega tese

Defesa

} (~ final Out)

Implementação inversão

Testes sintético

Aplicação América do Sul

→ feito

Escrita 2º artigo

Submissão 2º artigo

Entrega tese

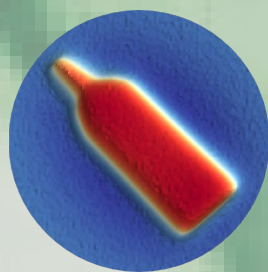
Defesa

} (~ final Out)

} (~ Nov-Dez)

github.com/leouieda/seminario-on-2015

pinga-lab.org



PINGA

Grupo de problemas inversos en geofísica